

Расширенный биномиальный фильтр для быстрого размытия по Гауссу

Авторские права принадлежат Алоису Зинглю 2010 г., Вена,

Австрия. <http://free.pages.at/easyfilter/gauss.html>

Дублирование только с разрешения.

Абстрактный

Алгоритм расширенного биномиального фильтра — это очень простой и эффективный алгоритм размытия по Гауссу, в котором время обработки каждого пикселя не зависит от радиуса размытия.

Размытие по Гауссу — широко используемый фильтр для многих эффектов, особенно для обработки изображений. Важно иметь быстрый и простой алгоритм вычисления. Время выполнения большинства алгоритмов расчета размытия по Гауссу, таких как биномиальная последовательность, пропорционально радиусу размытия r . Это недостаток сложности $O(r)$ на пиксель делает такой алгоритм очень медленным для больших радиусов размытия.

Расширенный биномиальный фильтр является аппроксимацией быстрого биномиального фильтра с постоянной сложностью $O(1)$, что делает время выполнения на пиксель независимым от радиуса размытия.

Точность аппроксимации выбирается степенью аппроксимации.

Ключевые особенности

- Постоянная сложность $O(1)$ на пиксель, независимая от радиуса размытия.

- Минимальные затраты на пиксель, также не зависящие от радиуса размытия.

Вычисления также просты (и быстры), как и размытие

прямоугольника. • Выбор адекватной аппроксимации с желаемой точностью

Саммерс Алгоритм

использует то преимущество, что интеграл от постоянной функции очень легко вычислить: это всего лишь одно умножение. Двойной интеграл от постоянной функции вычисляется легко: нужно лишь сложить разности в начале и конце. Это метод можно распространить на любое количество последовательных интегралов постоянной функции.

Функция сначала выводит n раз, а затем упрощается до последовательности ступенчатых функций. Теперь алгоритм берет эти простые пошаговые функции и снова интегрирует их n раз, чтобы получить аппроксимацию исходной функции.

Алгоритм также использует то преимущество, что вычисляются последовательные пиксели. Таким образом, вместо повторного суммирования значений для каждого пикселя добавляются только различия. Эти дополнения выполняются для всех дискретных производных. Таким образом, нужно будет сделать всего несколько дополнений на пиксель. В своей простейшей форме первая степень алгоритм выполняет только размытие прямоугольника. Но приближение третьей степени достаточно точно для большинства 8-битных изображений.

Это принцип аппроксимации не ограничивается размытием по Гауссу, но может использоваться и для других функций фильтра.

Этот алгоритм особенно полезен при больших радиусах размытия.

Ключевые слова: размытие по Гауссу, эффективный алгоритм, биномиальный фильтр, аппроксимация, свертка, градиент.

Содержание

1. Математическая основа.....	3	1.1. Необычные функции.....	3
1.2. Размытие по Гауссу.....	4		
1.3. Размытие рамки.....	6		
1.4. Производные Гаусса.....	8		
1.5. Линейное приближение.....	8		
1.6. Квадратная аппроксимация.....	10		
1.7. Высшая степень приближения.....	11		
1.8. Произвольная степень приближения.....	12		
1.9. Точность.....	14		
1.10. Частотный спектр.....	15		
2. Алгоритм.....	18	2.1. Степень аппроксимации.....	18
2.2. Расчет.....	19		
2.3. Расширенная биномиальная последовательность.....	21		
2.3.1. Расширенные биномиальные графы.....	23		
2.4. Дискретный частотный спектр.....	24		
2.5. Искусственные образцы изображений.....	28		
2.6. Выполнение.....	29		
2.6.1. Бордеры.....	30		
2.6.2. Радиус размытия с плавающей точкой.....	30		
2.6.3. Пиксельный буфер.....	30		
2.7. Другой эффективный алгоритм размытия.....	30		
2.8. Обнаружение края.....	31		
2.9. Пример заточки.....	31		
2.10. Использование литературы.....	32		
2.11. Инструменты.....	33		
3. Исходный код.....	33	3.1. Команды Максимы.....	33
3.2. Программы Filtermeister.....	33		
3.2.1. Приближение в одной степени.....	34		
3.2.2. Приближение третьей степени.....	35		
3.2.3. Четвертая степень приближения.....	36		
3.2.4. Произвольная степень приближения.....	37		
3.2.5. Улучшенное приближение в одной степени.....	38		
3.2.6. Пример обнаружения края.....	41		
3.2.7. Пример размытия-резкости.....	42		
3.2.8. Пример размытия по Гауссу с пониженной дискретизацией.....	44		
3.2.9. Пример рекурсивного размытия по Гауссу.....	46		

Сокращения

КАС	Система компьютерной алгебры
ДФФ	Дискретное преобразование Фурье
БПФ	Быстрое преобразование Фурье
ДЛЯ	Квантовая импульсная характеристика
БИХ	Бесконечный импульсный отклик
Пиксель	Элемент изображения
-----	Среднеквадратичный
СК ИПСМ	Обработка изображений с раздельными ядрами с использованием квантовых автоматов
УСМ	Нерезкая маскировка

1. Математическая основа. В этой главе рассматриваются

математические основы алгоритма. Если вас интересует только алгоритм, вы можете пропустить эту главу, но она поможет лучше понять теорию работы.

Для математического описания изображение мыслится как непрерывная аналоговая функция. Изображение состоит из пространственной области S , которая представляет собой диапазон возможных положений x и y изображения, и области диапазона R , которая представляет собой диапазон возможных значений пикселей: $p = f(x, y)$.

1.1. Необычные функции

Для аппроксимации кусочной функции необходима ступенчатая функция. Ступенчатая функция Хевисайда определена

$$\Theta(x) = \begin{cases} 0, & x < 0 \\ 1, & x > 0 \end{cases} \quad (1)$$

Ступенчатая функция Хевисайда представляет собой интеграл дельта-функции Дирака: $d\Theta = \delta$.

$$\text{rect}(x) = \Theta(x + \frac{1}{2}) - \Theta(x - \frac{1}{2}) = \int_{-\frac{1}{2}}^{\frac{1}{2}} \delta(x - \tau) d\tau$$

Еще одна нестационарная распространяемая необходимая функция — это абсолютное значение с его производной и интегралом:

$$\frac{d}{dx} |x| = \begin{cases} 1, & x > 0 \\ -1, & x < 0 \end{cases} \quad \int |x| dx = \frac{x|x|}{2} + C$$

Значение ступенчатой функции Хевисайда в точке $x = 0$ не имеет значения для этого приложения.

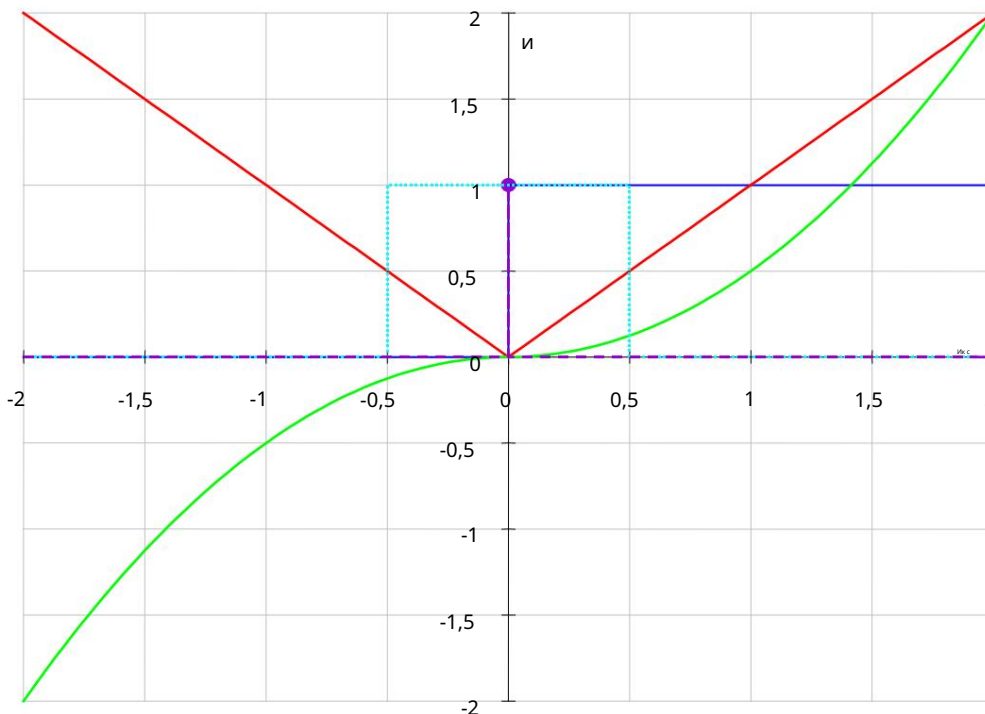


Рисунок 1 Необычные функции

- а. Дельта-функция Дирака $\delta(x)$
- б. Прямоугольная функция
- в. Ступенчатая функция Хевисайда: $\Theta(x)$
- г. Абсолютное значение: $|x|$
- д. Интегрирование абсолютного значения: $\frac{x|x|}{2}$

Функция пола x также необходима для дискретных последовательностей.

1.2. Размытие по Гауссу

Размытие по Гауссу использует функцию Гаусса для расчета преобразования. Это приводит к очень гармоничным и плавным результатам. Для каждого нового пикселя устанавливается средневзвешенное значение окрестности этого пикселя.

В математике это можно выразить как свертку (нем. Faltung) функции изображения $f(x)$ с помощью функции размытия $g(x)$:

$$* \text{ (или } \int f(x) g(x-s) ds \text{)}$$

Коэффициент ядра матричной свертки выбираются так, чтобы аппроксимировать распределение Гаусса. Радиус размытия определяет размер ядра.

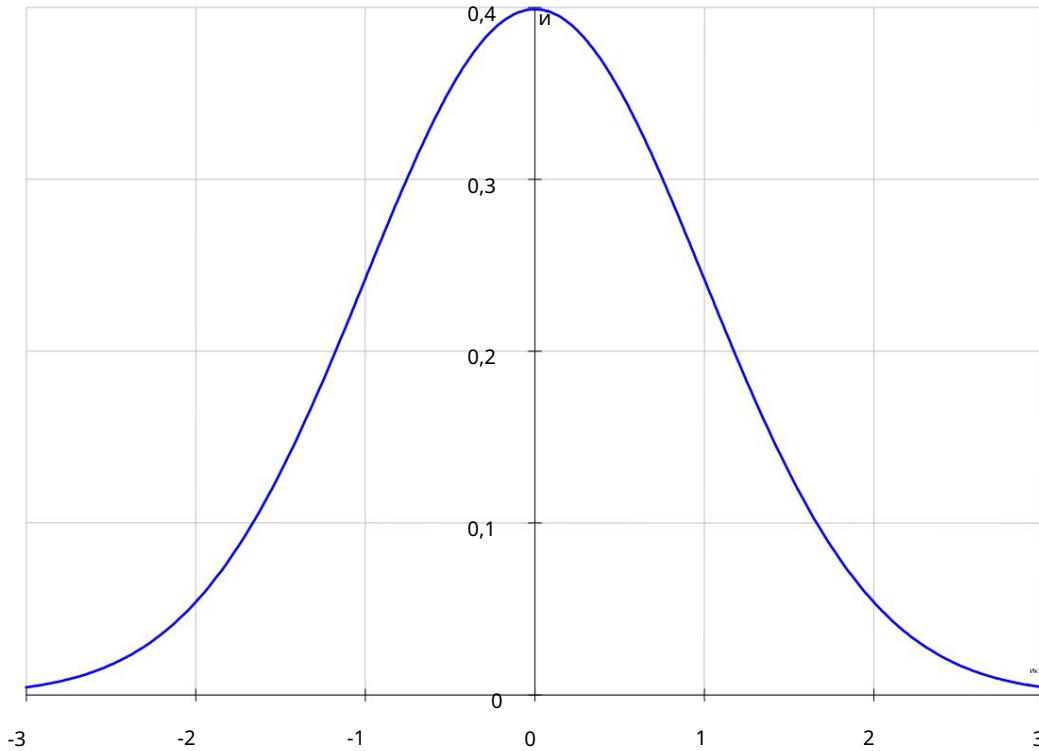


Рисунок 2 Функция Гаусса для $\sigma = 1$

$$f(x) = \frac{1}{\sqrt{2\pi}} e^{-\frac{x^2}{2}}$$

Уравнение функции размытия по Гауссу:

$$f(x) = \frac{1}{\sigma \sqrt{2\pi}} e^{-\frac{(x-\mu)^2}{2\sigma^2}}$$

Параметр μ — это ожидаемое значение, а σ — стандартное отклонение, которое представляет собой радиус размытия в случае размытия по Гауссу.

Для облегчения следующих расчетов используется стандартное нормальное отклонение, где установлено равным единице, а μ установлено равным нулю. Эта простая функция показана на рисунке 2:

$$f(x) = \frac{1}{\sqrt{2\pi}} e^{-\frac{x^2}{2}} \quad (2)$$

Стандартное отклонение можно рассчитать на основе стандартного нормального отклонения: $f(x) = \frac{1}{\sigma} f\left(\frac{x-\mu}{\sigma}\right)$.

Упрощение учитывается, если оно влияет на расчет.

Функции фильтра не ограничиваются одним измерением. Для изображений необходима двумерная функция. Если функция фильтра является линейно разделимой, n -мерная функция фильтра может быть вычислена с помощью n одномерных функций:

$$f(x_1, x_2, \dots, x_n) = \prod_{i=1}^n f_i(x_i)$$

Функция фильтра Гаусса двух измерений на рисунке 3 равна $g(x, y)$

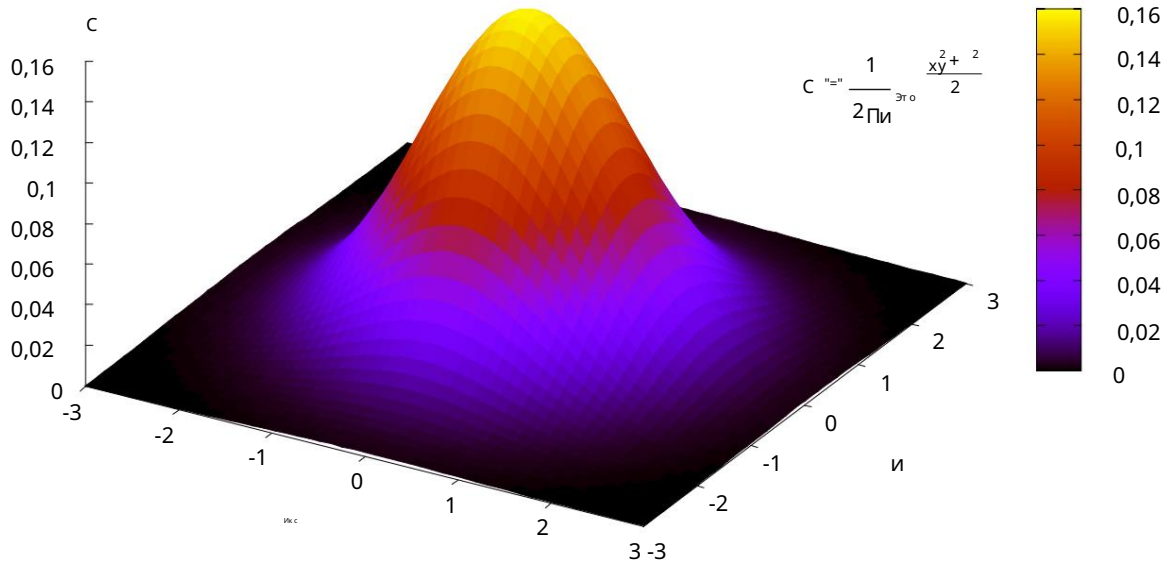
$$g(x, y) = \frac{1}{2\pi\sigma^2} e^{-\frac{x^2+y^2}{2\sigma^2}}$$

Можно выбрать разное размытие для направлений x и y: $g(x, y)$

$$g(x, y) = \frac{1}{2\pi\sigma_x\sigma_y} \exp\left(-\frac{x^2}{2\sigma_x^2} - \frac{y^2}{2\sigma_y^2}\right)$$

или даже выполнить размытие для любого направления θ : $g(x, y)$

$$g(x, y) = \frac{1}{2\pi\sigma^2} \exp\left(-\frac{(x \cos\theta + y \sin\theta)^2}{2\sigma^2} - \frac{(x \sin\theta - y \cos\theta)^2}{2\sigma^2}\right)$$



Изображение 3 К олообразная форма Гаусса в 3D

Функциональная область

$$g(x, y) = \frac{1}{\pi\sqrt{2}\sigma} \exp\left(-\frac{x^2 + y^2}{2\sigma^2}\right)$$

Для двух измерений объем под функцией равен

$$\int_{-\infty}^{\infty} \int_{-\infty}^{\infty} g(x, y) dx dy = 1$$

Ошибка аппроксимации может быть измерена с помощью среднеквадратичного значения (RMS) между точными значениями $g(x)$ и

аппроксимация функции $b(x)$:

$$e = \sqrt{\int (g(x) - b(x))^2 dx}$$

приближение $b(x) = 0$. Поскольку изображение двумерной функции Гаусса линейно делимо,

двумерная ошибка может быть измерена с помощью

$$e = \sqrt{\int \int (g(x, y) - b(x, y))^2 dx dy}$$

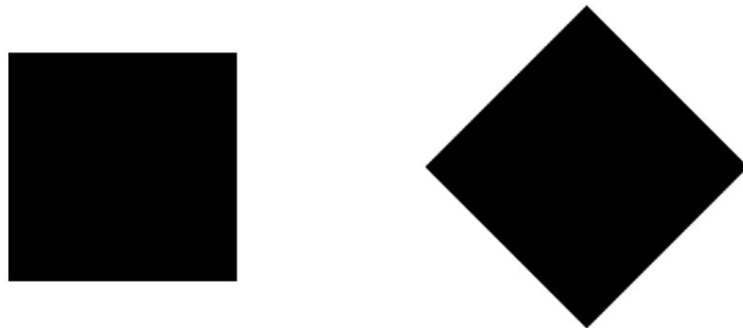


Рисунок 4. Пример изображения без размытия.

На рисунке 5 показано размытие по Гауссу изображения 4 с двумя квадратами, один из которых повернут на 45 градусов. Оба выглядят одинаково и очень гладко, как и ожидалось от размытия.

Рисунок 5. Размытое изображение по Гауссу.

Стандартное отклонение определяется как

$$\sigma = \sqrt{\frac{\int_{-\infty}^{\infty} (x - \mu)^2 f(x) dx}{\int_{-\infty}^{\infty} f(x) dx}}, \quad (3)$$

где $f(x)$ обозначает функцию плотности.

Ожидаемая стоимость определяется как

$$\mu = \frac{\int_{-\infty}^{\infty} x f(x) dx}{\int_{-\infty}^{\infty} f(x) dx}. \quad (4)$$

Стандартное отклонение и ожидаемое значение определяются уравнениями (3) и (4) для функции плотности и функции Гаусса, поскольку

$$f(x) = \frac{1}{\sigma \sqrt{2\pi}} \exp\left(-\frac{(x - \mu)^2}{2\sigma^2}\right) \quad \text{и} \quad \mu = \frac{\int_{-\infty}^{\infty} x f(x) dx}{\int_{-\infty}^{\infty} f(x) dx} = \mu.$$

1.3. Размытие крошки

Вычисление функции Гаусса является дорогостоящим. Полиномиальные аппроксимации обещают лучшую производительность. Вопрос в том, как они полиномиально приближаются к точности и производительности?

Размытие рамки — первое упрощение. Для 1-й степени приближения функция Гаусса заменяется константой.

Размытие поля просто суммирует значения вокруг квадрата. Это легко сделать, но результат не такой гладкий, как размытие по Гауссу.

Функция фильтра размытия поля (прямоугольная функция) — $b(x) = \begin{cases} 1 & |x| \leq a \\ 0 & \text{иначе} \end{cases}$.

где a обозначает шаг функции Хевисайда, c — ширина, а a — высота ящика.

Одним из условий определения константы a является то, что площадь под функцией должна быть одинаковой для аппроксимации и функции Гаусса:

$$\int_{-a}^a 1 dx = \int_{-\infty}^{\infty} \frac{1}{\sigma \sqrt{2\pi}} \exp\left(-\frac{x^2}{2\sigma^2}\right) dx, \quad \text{поэтому } a = \sigma \sqrt{2}.$$

Второе условие состоит в том, что стандартное нормальное отклонение для аппроксимации и функции Гаусса согласно уравнению (2) одинаково:

$$\sigma^2 = \frac{\int_{-a}^a x^2 dx}{\int_{-a}^a 1 dx} = \frac{c^2}{12}, \quad \text{поэтому } \sigma = \frac{c}{\sqrt{12}} \quad \text{и} \quad a = \frac{c}{\sqrt{6}}.$$

Функция размытия поля с этими определениями:

$$b(x) = \frac{e^{-\frac{x^2}{2\sigma^2}}}{\sigma\sqrt{2\pi}} \quad (5)$$

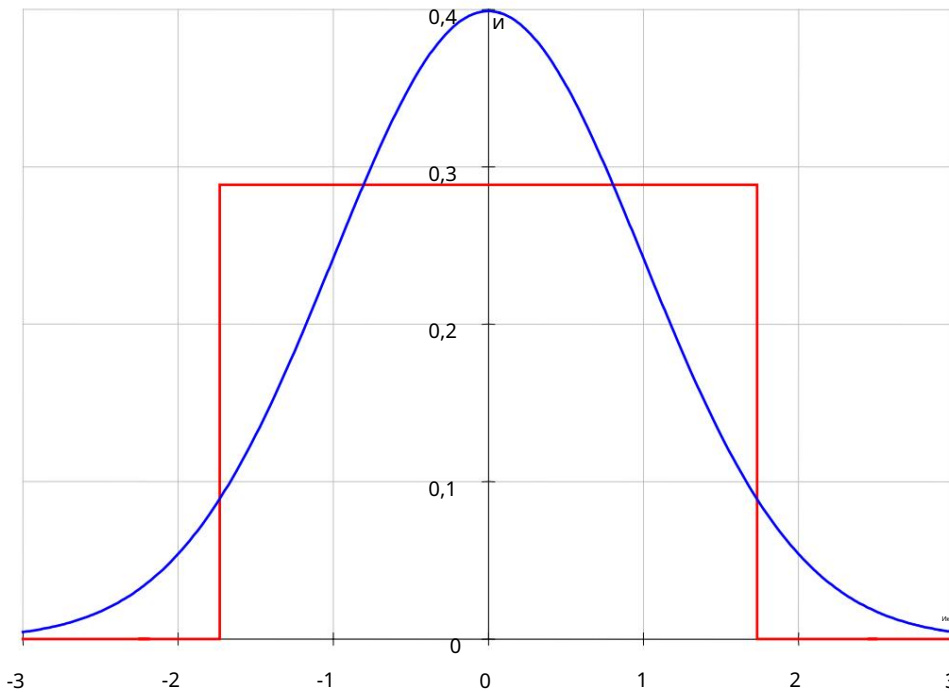


Рисунок 6: Функция размытия рамки

а. Размытие коробки

б. Размытие по Гауссу

Когда площадь функции Гаусса определяется как максимальная ошибка, ошибка 1-й степени

приближение $\sigma_1 = \sqrt{\int_{-\infty}^{\infty} (f(x) - b(x))^2 dx} = 0,2036969520$. Двумерная ошибка составляет 0,1511405983.

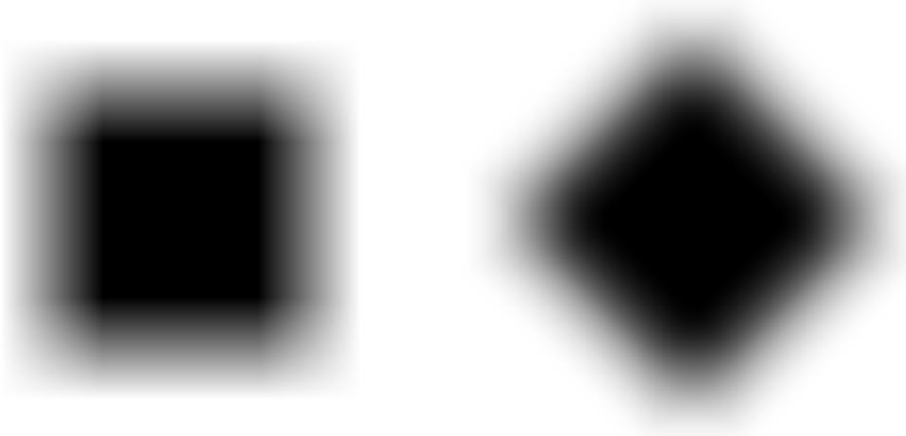


Рисунок 7: Изображение с размытием рамки

Квадратное размытие прямоугольника все еще можно увидеть на рисунке 7. Кроме того, два размытых квадрата не выглядят такой же.

Преимущество размытия по рамке — это его скорость. Поскольку размытие применяется к каждому значению две суммы соседних значений практически идентичны. Вместо расчета отдельных сумм обходятся только с разницей предыдущей суммой. Таким образом, время выполнения каждого значения является постоянным и не зависит от радиуса размытия.

Можно ли как-то образом объединить размытие по квадрату и размытие по Гауссу, чтобы получить выгоду от обоих алгоритмов?

1.4. Производные Гаусса

Размытие прямоугольника — это своего рода упрощение формы огибающей Гаусса. Вместо функции добавляются постоянные значения. Производная кривой этой функции представляет собой две дельта-функции Дирака с пиками в начале и в конце. Интегрирование просто выполняется во время итераций по всем значениям. Это можно использовать для лучшей адапции аппроксимации к форме огибающей. Ступенчатая функция снова интегрируется для построения функции наклона. Две итерации почти так же просты, как одна, поскольку к значениям необходимо добавлять только коэффициенты.

Высшая степень производной состоит только из констант. Он рассчитывается путем сложения соответствующих значений пикселей.

Фильтрующая функция степени n аппроксимируется $n+1$ соседними полиномиальными функциями степени n . Все производные двух полиномов в соседних точках равны (аналогично сплайнам), за исключением последней производной, которая состоит из ступенчатых функций. Высота и ширина ступенчатых функций определяют функцию фильтра.

Преимущество этого приближения состоит в том, что n -й вывод состоит только из постоянных значений, констант фильтра. Интегрирование просто выполняется путем добавления новых значений в соседних точках двух полиномов для каждой производной. Это делает время расчета независимым от радиуса фильтра.

1,5. Линейная аппроксимация.

Криволинейная форма Гаусса адаптируется с помощью регулярной функции.

Вторая степень приближения функции Гаусса равна $b(x) = a(|x + c| - 2|x| + |x - c|)$.

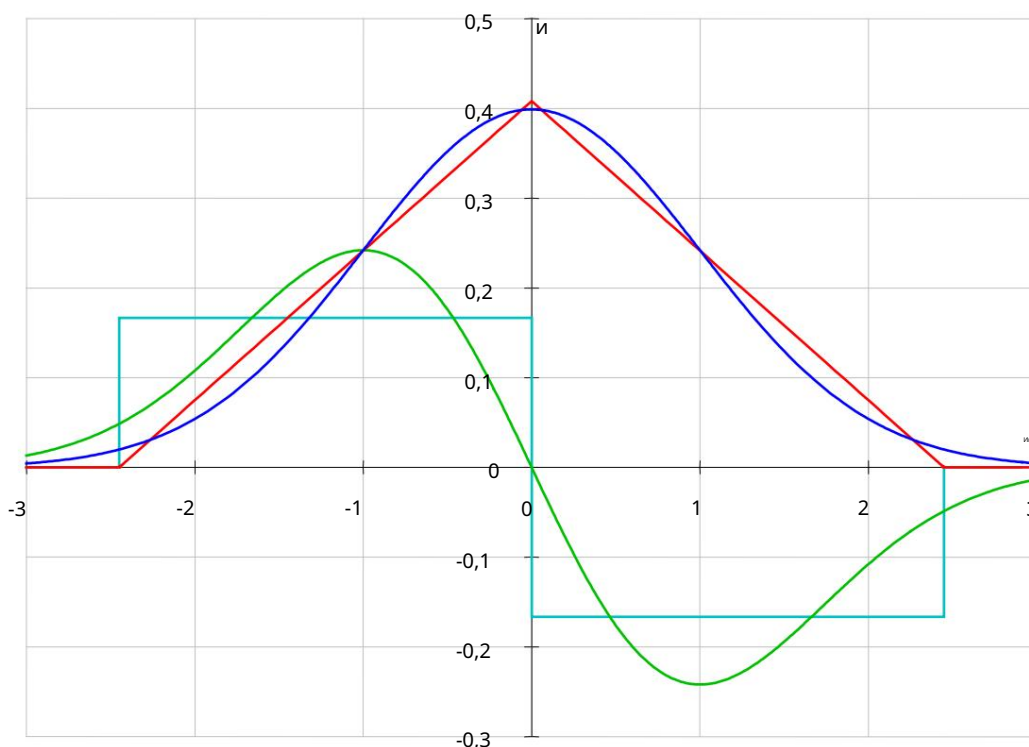


Рисунок 8: Линейная аппроксимация

$$a. \quad y = \frac{1}{\sqrt{2\pi}} e^{-\frac{x^2}{2}}$$

$$b. \quad y = b_2(x)$$

$$v. \quad y = \frac{1}{\sqrt{2\pi}} e^{-\frac{x^2}{2}}$$

$$d. \quad y = s_2(x)$$

Первые условия для констант a и c такие же, как и раньше:

$$b(x) = \frac{1}{\sqrt{2\pi}} e^{-\frac{x^2}{2}} \quad \text{и} \quad \int_{-\infty}^{\infty} b(x) dx = 1.$$

Второе условие — снова то же значение отклонения:

$$\int_{-\infty}^{\infty} x^2 b(x) dx = \frac{c^2}{2} \left(1 + \frac{2}{3} \right) = \frac{c^2}{6} = 1. \quad \text{Итак, } a = 1/12 \text{ и } c = 6. \quad \sqrt{\quad}$$

Таким образом, вторая степень приближения функции Гаусса равна:

$$b_2(x) = \frac{\sqrt{6} |x| + \sqrt{6}}{12} \quad (6)$$

Ступенчатая функция второго приближения представляет собой вывод ()

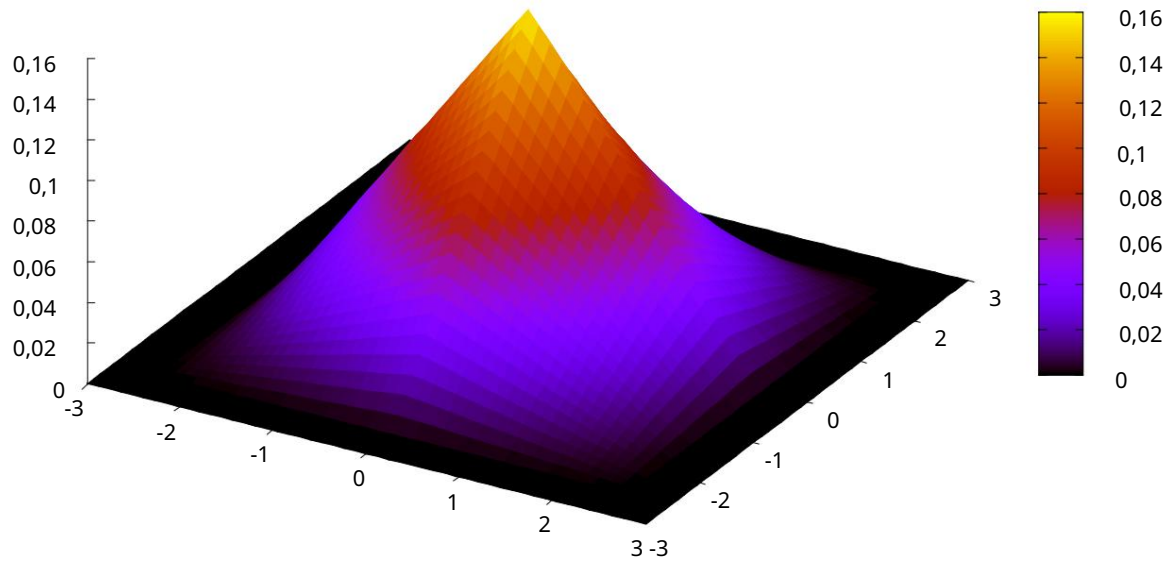
$$c_2(x) = \frac{b_2(x)}{D_2}$$

$$c_2(x) = \frac{\Theta(\sqrt{6}x) - \Theta(-\sqrt{6}x)}{6} \quad (7)$$

Погрешность 2-й степени приближения составляет

$$\epsilon_2 = \sqrt{\frac{1}{6} \int_{-\infty}^{\infty} (b_2(x) - c_2(x))^2 dx} = 0,04652434331 \text{ Два}$$

размерная ошибка равна 0,03530803161.



Изображение 9: Размытие треугольника

Рисунок 10: Размытие изображения треугольника

Изображение на рисунке 10 предполагает хорошее приближение к размытию по Гауссу, подтвержденное расчетами.

Применение аппроксимации к тестовому изображению не показывает заметной разницы с размытием по Гауссу.

Максимальная погрешность в несколько процентов видна в графическом редакторе с высоким усилением пикселей. Это соответствует стандартному 8-битному редактору изображений.

1.6. Квадратное приближение

Процесс аппроксимации можно продолжить, если вторая степень недостаточно точна. Колоколообразная функция Гаусса дифференцируется и аппроксимируется трапезоидными. Затем трапезоиды интегрируются, как это делалось раньше.

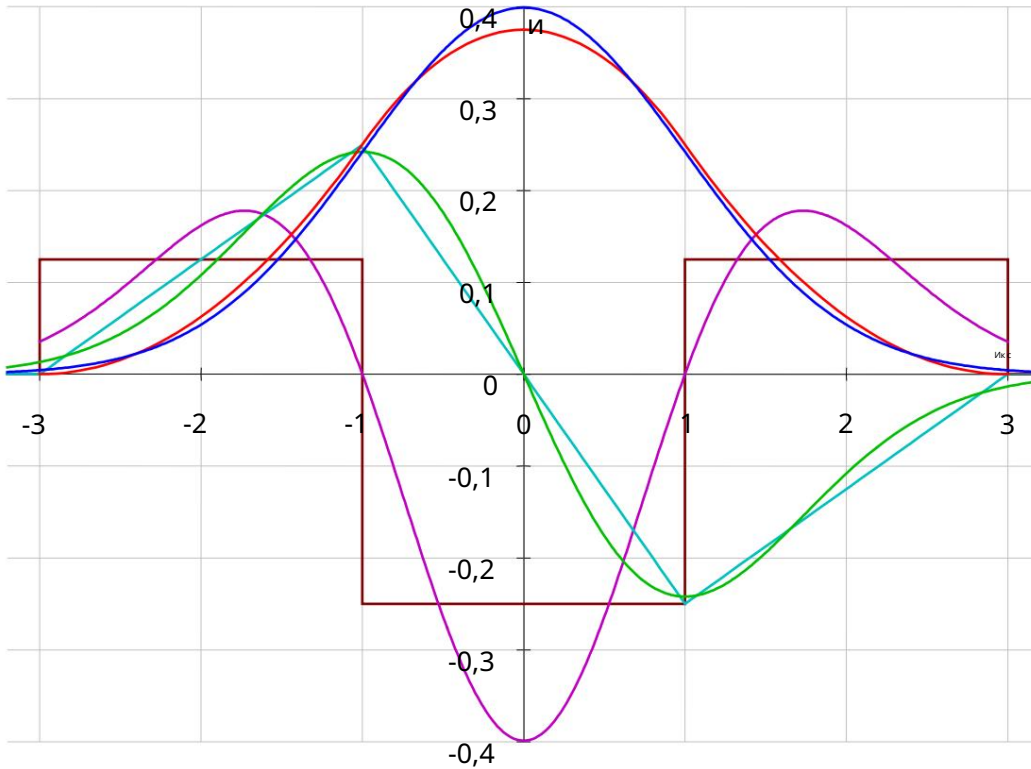


Рисунок 11:

Приближение третьей степени

$$уже. \frac{1}{\sqrt{2\pi}} e^{-\frac{x^2}{2}}$$

$$b. y = b3(x)$$

против. 1-я

производная d. $y = b3'(x)$

это. 2-я производная

$$ф. y = s3(x)$$

Для приближения третьей степени вторая производная функции Гаусса на рисунке 11е (пурпурный график) упрощается до ступенчатых функций. Для простого приближения ширина трех ступенек (коричневый график) одинакова. Максимум отрицательного шага в два раза превышает максимум положительного шага, поскольку первая производная аппроксимации в точке $x = 0$ должна быть равна нулю (площадь коричневого графика в целом должна быть равна нулю). Это приводит к следующей

$$ступенчатая функция $s3(x) = a(x) + 2x + c - 2x - c$$$

c — ширина ступеней, a — амплитуда. Двукратная первообразная $s3(x)$ составляет

$$f_{b3} = \frac{a}{16} (2 - 3|x| + 3|x|^2 - 3|x|^3 + 2|x|^4) + 3|2 - |x|| - (|x|) |x|$$

Условия для констант такие же, как и для предыдущих приближений. Площадь под функцией должна быть одинаковой для аппроксимации и функции Гаусса:

$$b(x) \approx \frac{1}{\sqrt{2\pi}} e^{-\frac{x^2}{2}} \approx \frac{1}{\sqrt{2\pi}} (1 - \frac{x^2}{2} + \frac{x^4}{24} - \dots)$$

Итак, первое условие приводит к переменному $t^3 = 1$. Для второго условия стандартное отклонение должно быть равно единице:

$$\sigma^2 = \frac{c^4}{16} = 1, \text{ поэтому } a = 1/8 \text{ и } c = 2.$$

Таким образом, ступенчатая функция третьего приближения равна

$$f(x) = \frac{1}{8} (2 - 3|x| + 3|x|^2 - 3|x|^3 + 2|x|^4) + 3|2 - |x|| - (|x|) |x| \quad (8)$$

$$и(x) = \frac{1}{32} (3 - 2|x| + |x|^2) \text{ так равно } \frac{1}{32} (3 - 2|x| + |x|^2) \text{ так равно } \frac{1}{32} (3 - 2|x| + |x|^2)$$

Погрешность 3-й степени приближения составляет $\epsilon_3 = \sqrt{\frac{1}{6} \int_{-3}^3 x^2 dx} = 0,02531428515$. Двухразмерная ошибка равна 0,01954370265.

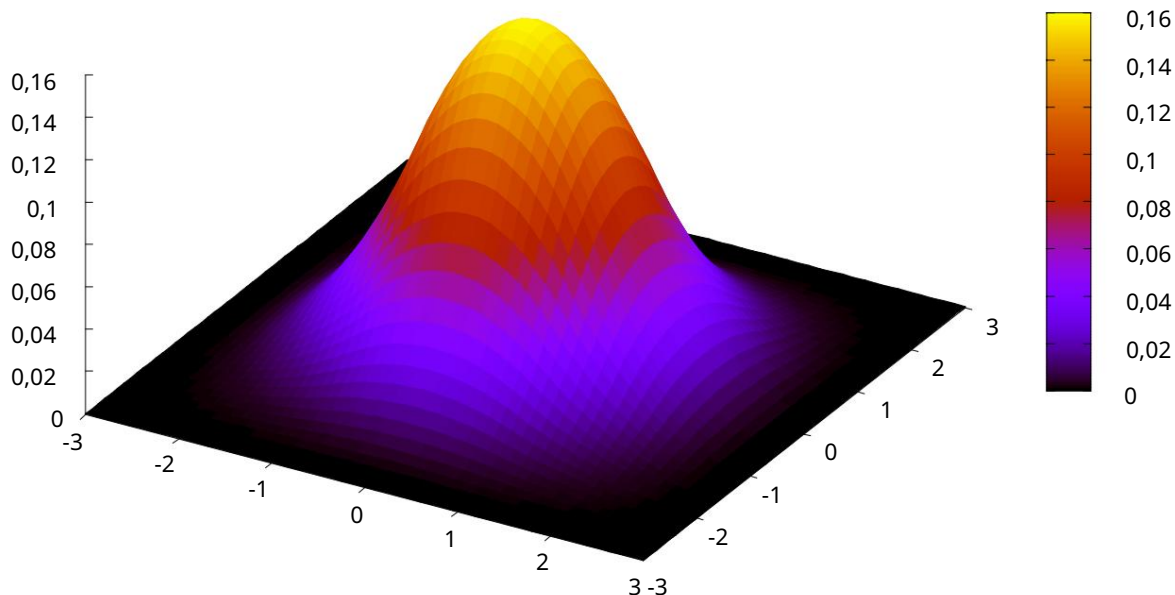


Рисунок 12: Аппроксимация к квадрату

1.7. Высшая степень приближения

Тот же подход, что и раньше, можно использовать для расчета четвертой степени приближения. Формула для ступенчатой функции 4-й степени выводится при том же условии, что и раньше: равная ширина шага.

$$s_4(x) = a(\theta x + 2c) + \theta x - 2c - 4\theta x(c - 4\theta x - (c + 6\theta x))$$

$$b_4(x) = \frac{a}{((\theta c + 2\theta)^2 + 2\theta^2)} \left(\frac{1}{\theta c} x^2 + 2c + \frac{1}{\theta c} x^2 + \alpha + \frac{1}{\theta c} x^2 \right) + 6x^2$$

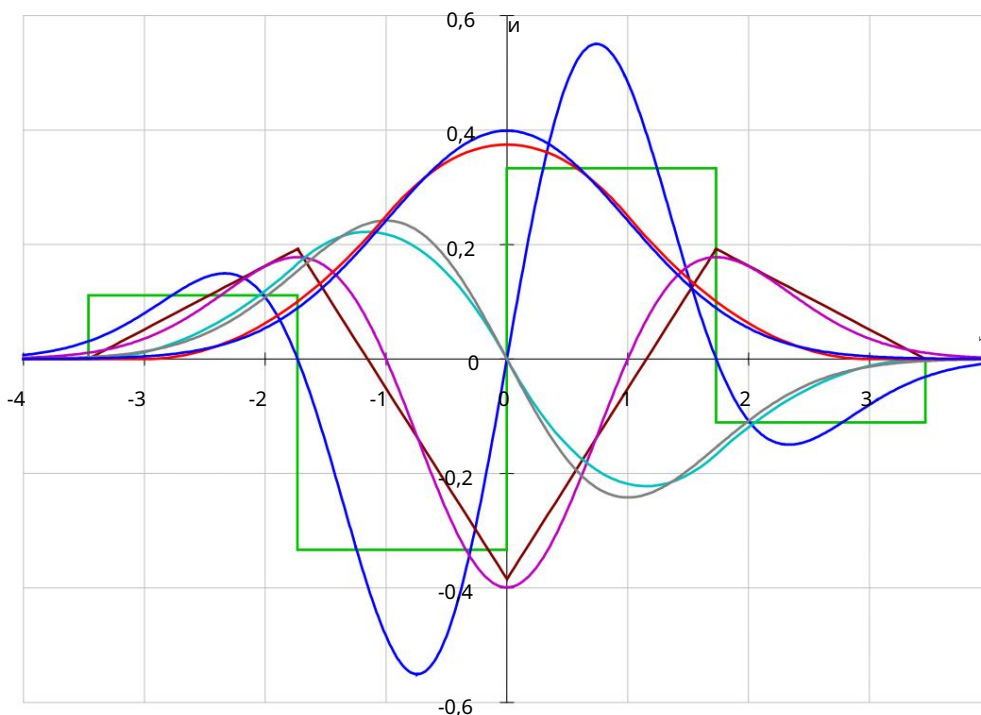


Рисунок 13: Функция аппроксимации четвертой степени

а. $\theta = \frac{1}{\sqrt{2\pi}}$ Это $\frac{1}{2}$

б. $y = b_4(x)$

в. Производная 1-й степени d_1 1-я степень ок.

г. Производная 2-й степени d_2 2-я степень ок.

д. Производная 3-й степени d_3 ступенчатая функция $s_4(x)$

Константы получены из тех же условий, что и раньше:

$$b_4(x) = \frac{1}{\sqrt{2\pi}} e^{-\frac{x^2}{2c}} \quad \text{и} \quad \int_{-\infty}^{\infty} b_4(x) dx = 1$$

что составляет $a = 1/9$ и $c = \sqrt{3}$.

Ступенчатая функция 4-й степени приближения

$$s_4(x) = \frac{1}{9} \left(\theta(x) + 2\theta(x-\sqrt{3}) + 4\theta(x-2\sqrt{3}) + 6\theta(x-3\sqrt{3}) + 4\theta(x-4\sqrt{3}) + 2\theta(x-5\sqrt{3}) + \theta(x-6\sqrt{3}) \right)$$

Ошибка $\epsilon_4 = \sqrt{\int_{-\infty}^{\infty} (s_4(x) - b_4(x))^2 dx} = 0,01812064909$, двумерная ошибка равна 0,01405961129.

Возможно дальнейшее увеличение степени аппроксимации. Процедура всегда одинакова, и должна быть возможность определить подход для любой степени.

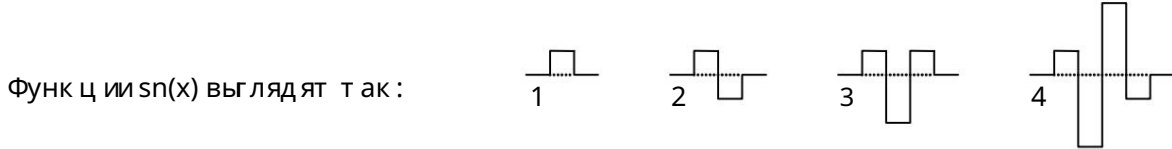
1.8. Произвольная степень приближения

Предыдущий расчет помогает определить произвольную радиусную функцию. Чтобы аппроксимировать форму колокола Гаусса

в n -й степени функция имеет n шагов одинаковой ширины K каждая ступень высокая, но с чередующимся знаками а ширина равна $1/c$. Таким образом, шаг для $n = 1$ — это $\{+1\}$, для $n = 2$ — это $\{+1, -1\}$, для $n = 3$ — это $\{+1, -2, +1\}$, для $n = 4$ — это $\{+1, -3, +3, -1\}$ и так далее. Формула такой биномиальной ступенчатой функции:

$$s_n(x) = \sum_{j=0}^{n-1} \binom{n-1}{j} \theta\left(x - \frac{j}{2}\right) - \theta\left(x - \frac{j+1}{2}\right) \quad (9)$$

где θ обозначает ступенчатую функцию Хевисайда.



Когда $s_n(x)$ интегрируется $n-1$ раз, это дает n -ую ступенчатую функцию аппроксимации Гаусса $b_n(x)$.

Константы и c должны быть определены так, чтобы площадь аппроксимированной функции и колокола и функции Гаусса были одинаковыми.

Это условие:

$$b_n(x) = \frac{1}{\sqrt{2\pi}} e^{-\frac{x^2}{2c}}$$

m -й первообразный $s_n(x)$ равен ($m = 0$):

$$s_n^{(m)}(x) = \frac{a}{2^m} \sum_{j=0}^{n-1} \binom{n-1}{j} \left(\frac{cx - j/2}{c} \right)^{m-1} \theta\left(x - \frac{j}{2}\right)$$

Константа интегрирования всегда равна нулю, чтобы получить аппроксимацию функции Гаусса для

$$\left| \int_{-\infty}^{\infty} s_n^{(m)}(x) dx \right| = 0$$

Для первого условия значений функции a и c должны быть равны нулю, поэтому интеграл равен

$$2 \int_0^{\infty} s_n^{(m)}(x) dx = \frac{a}{2^m} \sum_{j=0}^{n-1} \binom{n-1}{j} \int_0^{\infty} \left(\frac{cx - j/2}{c} \right)^{m-1} \theta\left(x - \frac{j}{2}\right) dx$$

Уравнения (12) и (13) для $n = 4$ подтверждают ся и расч ет ами пред ыдущих глав. Функ ц ии равны нулю для значений вне $|x| > 3\sigma = 3\sigma$. На рисунк е 14 показаны график и уравнения (12) для разных степеней аппроксимации в сравнении с функцией Гаусса.

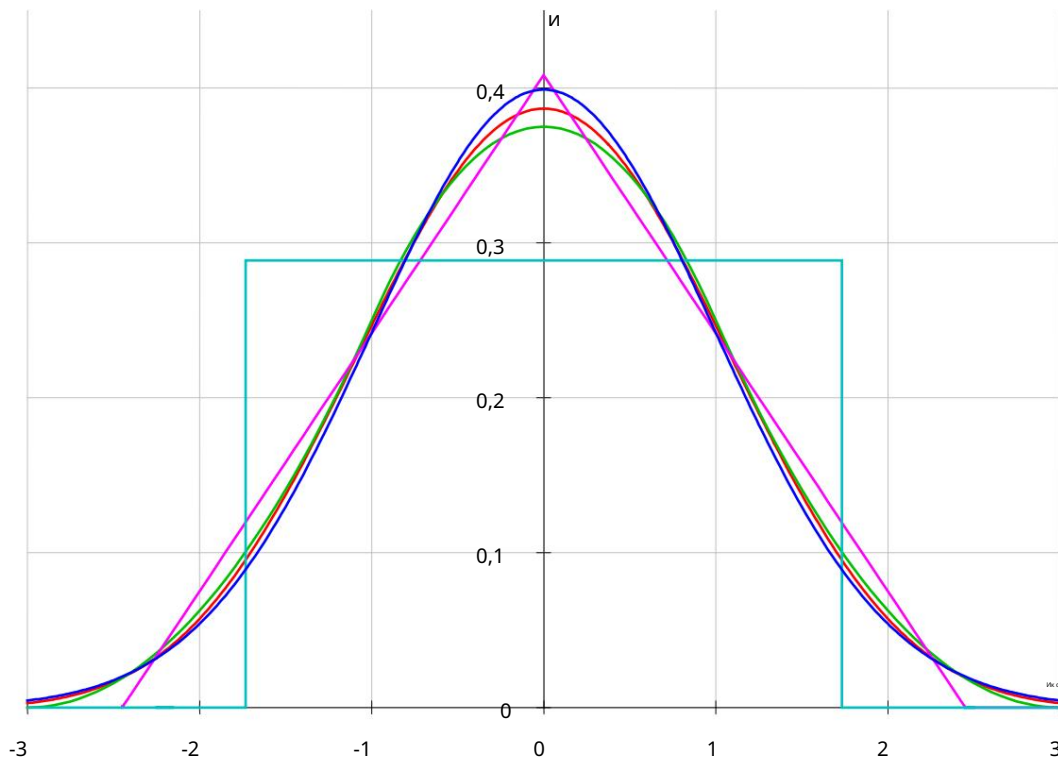


Рисунок 14:

аппроксимация
n-й степени

а. Размытие по

Гауссу б. 1-я степень,

размытие коробкой

в. 2-я степень,

линейное размытие

д. 3-я степень,

квадратное

размытие е. 5-я

степень, четверное размытие.

1.9. Точность

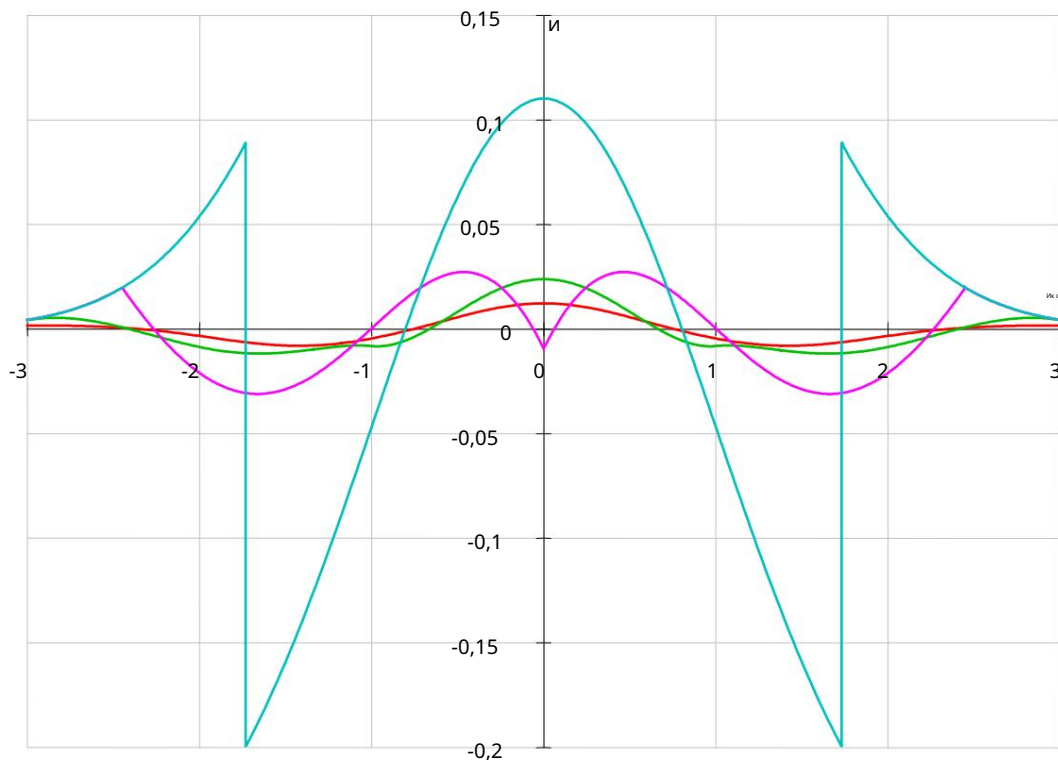


Рисунок 15:

аппроксимация
ошибка

а. 1-я степень,

размытие коробкой

б. 2-я степень,

треугольник с. 3-я

степень,

квадратное

размытие д. 5-я степень, четверное

Точность одномерной аппроксимации степени n составляет

$$\sqrt{\frac{1}{\sigma^2}} \int_0^x \frac{1}{\sqrt{2\pi}} e^{-\frac{t^2}{2\sigma^2}} dt \quad \text{что касается: } \frac{1}{\sqrt{2\pi}} \int_0^x e^{-\frac{t^2}{2\sigma^2}} dt$$

Ошибка аппроксимации всей функции не имеет такого большого значения. Ошибка в частоте спектра следующей главы более важна и имеет более низкую экспоненциальную зависимость от n .

Двумерная ошибка

$$\sqrt{\frac{1}{\sigma^2}} \int_0^x \frac{1}{\sqrt{2\pi}} e^{-\frac{t^2}{2\sigma^2}} dt \quad \text{где } \text{erf}(x) \text{ обозначает функцию ошибок: } \text{erf}(x) = \frac{2}{\sqrt{\pi}} \int_0^x e^{-t^2} dt$$

где $\text{erf}(x)$ обозначает функцию ошибок: $\text{erf}(x) = \frac{2}{\sqrt{\pi}} \int_0^x e^{-t^2} dt$

Выбранное приближение не является идеальным, поскольку оно медленно сходится к функции Гаусса, существуют лучшие решения. Но у этого есть преимущество простоты вычислений для дискретных данных.

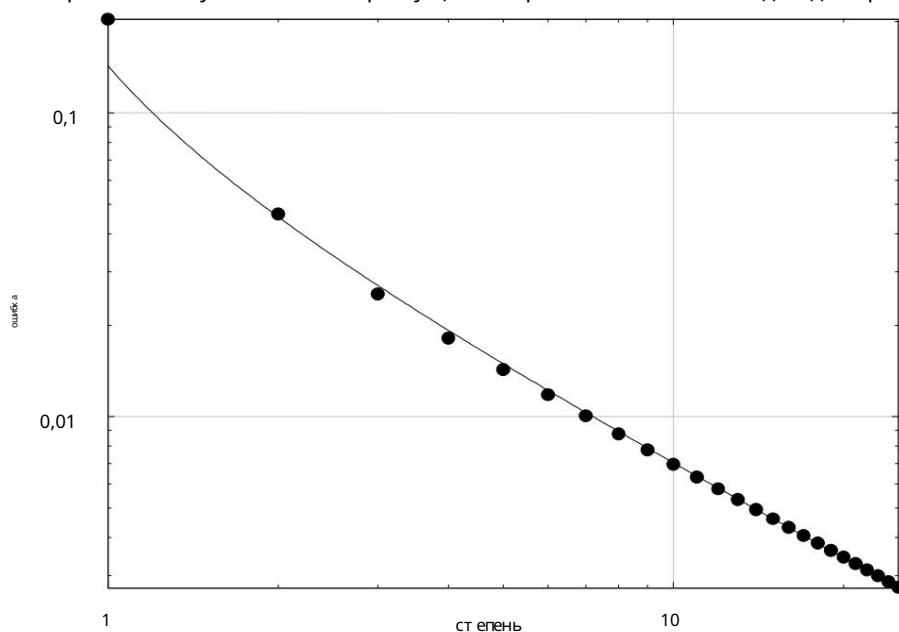


Рисунок 16:

Точность одномерной аппроксимации

1.10. Частотный спектр

Пространственная область функции размытия может быть преобразована в частотную область с помощью преобразования Фурье. Это преобразование позволяет сравнить размытие по Гауссу с приближениями в отсечении затронутого частотного спектра.

Интегральная теорема Фурье для функции $f(x)$ определяется как:

$$F(\omega) = \int_{-\infty}^{\infty} f(x) e^{-j\omega x} dx \quad (14)$$

$$f(x) = \frac{1}{2\pi} \int_{-\infty}^{\infty} F(\omega) e^{j\omega x} d\omega \quad (15)$$

Комплексная часть спектра равна нулю для четных функций $f(x)$, которые здесь используются, а действительная часть $a(\omega)$ равна нулю для нечетных.

Частотный спектр размытия по Гауссу уравнения (2):

$$F(\omega) = \frac{1}{\sqrt{2\pi}} e^{-\frac{\omega^2}{2\sigma^2}} \quad (16)$$

Преобразование Фурье $\text{bn}(x)$, кажется, выискивает немного сложнее. Но согласно теореме о свертке преобразование Фурье в простейшей области является точечным произведением в частотной области.

Преобразование Фурье прямоугольной (коробчатой) функции представляет собой кардинальный синус:

$$\text{rect}(x) \cos d \text{ ойхх} \stackrel{1}{=} \frac{(1) \cdot 2.1.2}{2 \cdot |2.1.2|} \text{ т е л о й х х} \stackrel{1}{=} \frac{\text{грех ой}}{\text{ой}/2}.$$

Свертка двух одинаковых коробчатых функций представляет собой треугольную (линейную)

$$\text{три}(\text{прямоугольник}) \stackrel{2}{=} \text{прямоугольник} \cdot \text{прямоугольник} \stackrel{2}{=} \frac{(1) \cdot 2}{2 \cdot |x+1|} \text{ т е л о й х х} \stackrel{2}{=} \frac{\text{грех ой}}{\text{ой}/2}.$$

Таким образом, преобразование Фурье согласно теореме представляет собой квадрат кардинального синуса:

$$\text{три}(\text{три}) \text{ т е л о й х х} \stackrel{2}{=} \frac{((1) \cdot 2)}{2 \cdot |x+1|} \text{ т е л о й х х} \stackrel{2}{=} \frac{\text{грех ой}}{\text{ой}/2}.$$

И еще одна свертка с помощью прямоугольной функции дает:

$$(\text{три} \cdot \text{три}) \cos d \text{ ойхх} \stackrel{3}{=} \frac{(1) \cdot 3 \cdot (2 \cdot 3 \cdot 2)}{16 \cdot |2 \cdot 3 \cdot 2|} \text{ т е л о й х х} \stackrel{3}{=} \frac{\text{грех ой}}{\text{ой}/2}.$$

При дальнейшем умножении обеих областей уравнение простейшей области становится хорошо известной закономерностью

Когда операция x^n определяет n-кратную свертку с самой собой (степень свертки), тогда n-степенной кардинальный синус является преобразованием Фурье n-й степени свертки

$$\text{прямоугольная функция: } \text{прямоугольник} \cdot \text{ойхх} \stackrel{n}{=} \frac{(1) \cdot n}{(n-1)! \cdot |x+1/2|} \text{ т е л о й х х} \stackrel{n}{=} \frac{\text{грех ой}}{\text{ой}/2}. \quad (17)$$

Уравнение (17) справедливо даже для $n=0$, поскольку $\text{прямоугольник} \cdot \text{ойхх} \stackrel{0}{=} \delta(x) \cdot \cos d \text{ ойхх} \stackrel{0}{=} 1$.

$$\text{Обратным преобразованием Фурье получаем: } \text{rect}^n(x) \stackrel{1}{=} \frac{1}{\text{Пи}_0} \frac{\text{грех ой}}{\text{ой}/2} \text{ т е л о й х х} \quad (18)$$

$$\text{а для } n=0 \text{ другое определение дельта-функции Дирака как: } \delta(x) \stackrel{1}{=} \frac{1}{\text{Пи}_0} \text{ т е л о й х х} \stackrel{0}{=} \text{ т е л о й х х}.$$

Аналогичное соотношение существует для ступенчатой функции из-за сложной частоты преобразования Фурье:

$$\Theta(x) \sin d \text{ ойхх} \stackrel{1}{=} \frac{1}{\text{ой}}, \text{ и обратного преобразования: } \Theta(x) \stackrel{1}{=} \frac{1}{2} \frac{\text{грех ой}}{\text{ой}} \text{ ой}. \quad (19)$$

Как итогом на предыдущих страницах была получена приведенная в действии свертка прямоугольной функции $\text{bn}(x) = n/12 \text{ rect}^n(x \cdot n/12)$.

Таким образом, частотный спектр $\text{bn}(\omega)$ аппроксимации $\text{bn}(x)$ уравнения (12) представляет собой простейший кардинальный синус:

$$\text{Пи}_n(\text{ой}) \stackrel{\sqrt{3n}}{=} \frac{\text{грех ой}}{\text{ой} \sqrt{3/n}} \text{ т е л о й х х} \stackrel{n}{=} \frac{\text{грех ой} \sqrt{3/n}}{\text{ой} \sqrt{3/n}} \quad (20)$$

$$\text{Уравнения (16) и (20) так же предполагают замечательный предел: } \frac{\text{при } \text{ой} \rightarrow \text{ой}}{\text{ой}} \stackrel{n}{=} \frac{1}{\text{ой}} \frac{\text{грех ой}}{\text{ой}} \stackrel{n}{=} \frac{1}{\text{ой}} \frac{\text{грех ой}}{\text{ой}} \quad (21)$$

$$\text{с тех пор, как я решил } \lim_{\text{ой} \rightarrow \text{ой}} \frac{1}{\text{ой}} \frac{\text{грех ой}}{\text{ой}} \stackrel{\text{потому что } \text{ой} \rightarrow \text{ой}}{=} \lim_{\text{ой} \rightarrow \text{ой}} \frac{\text{ой} \cdot \text{ой}}{2 \cdot \text{ой}} \stackrel{\text{потому что } \text{ой} \rightarrow \text{ой}}{=} \lim_{\text{ой} \rightarrow \text{ой}} \frac{\text{ой} \cdot \text{ой}}{2 \cdot \text{ой}} = \frac{2}{6}.$$

В следующей таблице приведен частотный спектр степеней первого приближения:

Степень n-й	Пространственная область $bn(x)$	Частотная область $pn(\omega)$
0-й степень (константа):	$D(x)$	1
1-я степень (размытие рамки):	$\frac{\theta(x+3-\sqrt{x})-3(\sqrt{x})}{2\sqrt{x}}$	$\frac{\text{грех } \omega\sqrt{3}}{\omega\sqrt{3}}$
2-я степень (линейная):	$\frac{ x+6-2x+x-6-\sqrt{x} }{12}$	$\frac{1-\cos(\omega\sqrt{6})}{3\omega^2}$
3-я степень (квадрат):	$\frac{(x+3x)+3-x-3x(-3-3)+1x+1+3(x-1x)}{32}$	$\frac{3\text{грех } \omega - \text{грех } 3\omega}{4\omega^3}$
4-я степень (кубическая):	$\frac{ +23\sqrt{x} ^3 32343436+x-\sqrt{x}-x+x \sqrt{x} ^3 }{108}$	$\frac{6-2\cos(\omega\sqrt{3})-\cos(3\omega\sqrt{3})}{9\omega^4}$

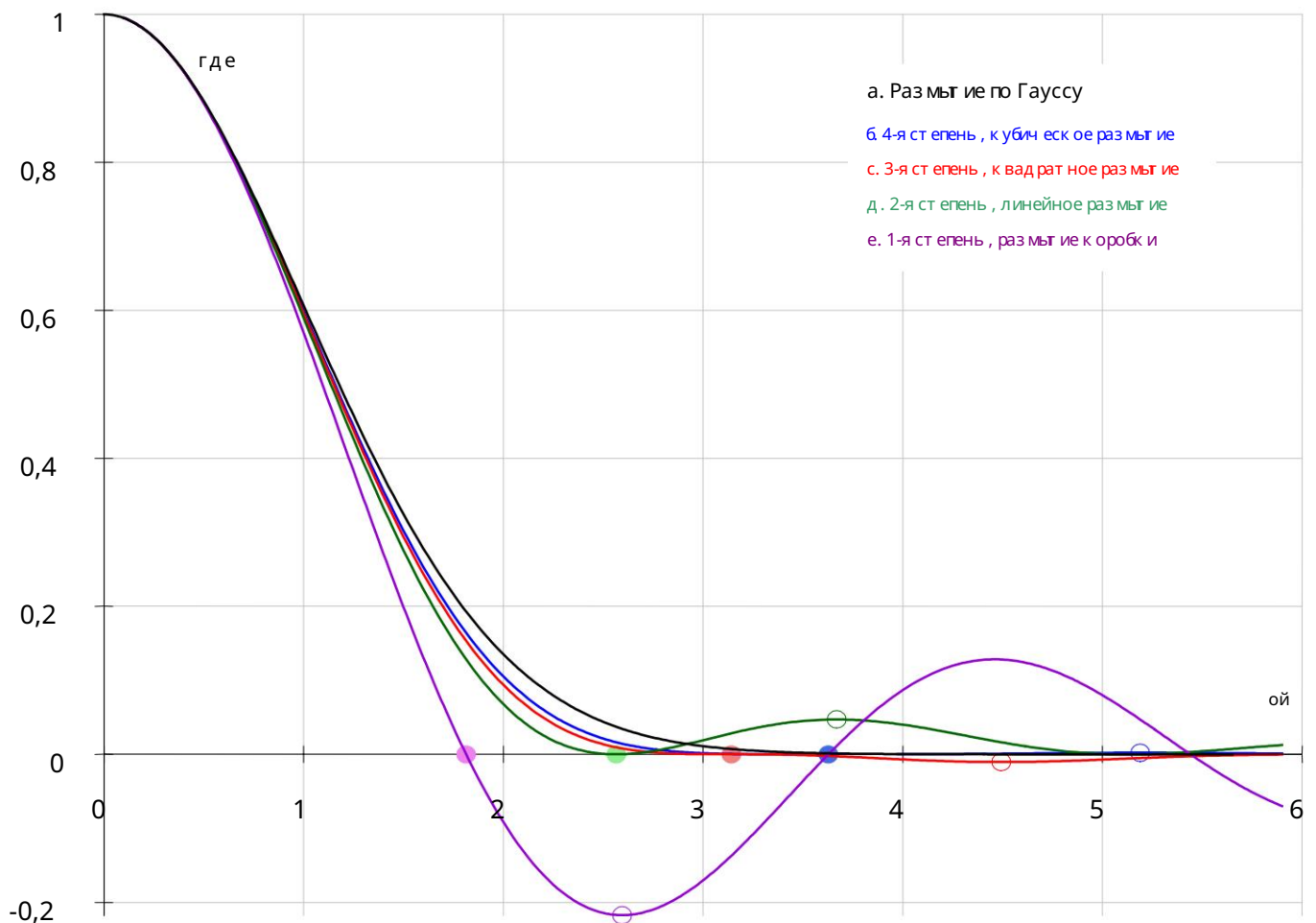


Рисунок 17: Частотный спектр аналогового приближения

Более высокие частоты спектра аппроксимаций более низкой степени подавляются не так сильно, как гауссова свертка.

Для любой степени аппроксимации существует минимальная частота ω_0 , которая полностью подавляется: $pn(\omega_0) = 0$.

Эта частота рассчитывается по формуле $\omega_0 = \sqrt[n]{\pi/3}$ и обозначается точкой на рисунке 17.

Первые максимумы частотных спектров аппроксимируются собой наибольшей ошибкой этой степени при $\omega > \omega_0$ и обозначены ружком. Частоты ω_p этого пика можно было найти, положив дифференцирование функции равным нулю $a'(n(\omega_p)) = 0$.

Уравнение для решения этого вывода будет иметь вид $\sqrt{\tan \omega_p} \approx \sqrt{3/n} = \omega_p \sqrt{3/n}$ для диапазона $\pi < \omega_p \sqrt{3/n} < 2\pi$ и не имеет символического решения. Численный расчет степени n составляет: $\omega_p = 2,594271160 n \sqrt{3/n}$.

Величина пиковой ошибки составляет: $\pi a(n(\omega_p)) = (-4,603338849) - n$. (22)

2. Алгоритм

Дискретное изображение исходит из аналогового мира. Но для обработки и изображения компьютерами необходимо его оцифровать. Это получается из аналогового изображения путем выборки и квантования. На аналоговое изображение накладывает регулярная сетка, состоящая из элементов изображения (пикселей), и каждому пикселю присваивается целое число, значение которого представляет яркость или яркость.

Такое изображение имеет две основные характеристики:

- Пространственная область S , представляющая обычно прямоугольную сетку пикселей, обычно в двух измерениях строки и столбцы. Возможные значения пространственной области определяют решение изображения. Пространство размером 2048×1536 пикселей представляет собой, например, изображение размером 3 мегапикселя.
- Область диапазона R , представляющая значения пикселя. Область диапазона может быть выражена с помощью одного значения для серых изображений или трех значений для цветных изображений. Обычно диапазоны — 3×8 или 3×16 бит.

БИНОМЫ

Центральная предельная теорема утверждает, что биномиальное распределение может быть аппроксимировано распределением Гаусса, если n достаточно велико (теорема Муавра – Лапласа). Обратив это от принципа, можно получить разумную аппроксимацию гауссовой функции с помощью биномиальной функции распределения.

Аппроксимация биномиального распределения центральной предельной теоремой для больших n :

$$P_n \approx \frac{1}{\sqrt{2\pi npq}} \exp\left(-\frac{(k-np)^2}{2npq}\right) \quad (23)$$

Гауссово приближение вероятности $p = 1/2$ для больших n :

$$P_n \approx \frac{1}{\sqrt{2\pi n}} \exp\left(-\frac{k^2}{2n}\right)$$

Таким образом, простые биномиальные значения можно использовать для быстрого вычисления функции Гаусса, которое при прямом вычислении будет намного медленнее.

2.1. Степень приближения

Полиномиальные функции выводятся n раз, пока не останутся только константы. Эти константы вместе с координатами частотной полинома определяют функцию фильтра. Производные необходимо снова интегрировать, чтобы получить функцию фильтра. Численное интегрирование константы очень просто. Здесь пригодится то, что вычисляются последовательные пиксели. Таким образом, интеграция предыдущего пикселя уже рассчитана. Остаются только добавить разницу. В этом случае алгоритм очень прост.

Размытие по Гауссу двумерного изображения применяется к двум независимым номерным расчетам.

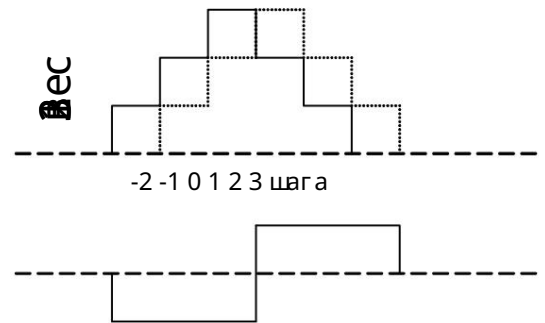
Степень приближения к форме гауссова колокола определяет точность. Когда степень равна единице, аппроксимация представляет собой размытие прямоугольника. Степень $n = 2$ представляет собой линейное (треугольное) приближение. Степень $n = 3$ — это квадратичная аппроксимация и так далее.

В то же время степень определяет количество пикселей, суммируемых за итерацию.

Хотя алгоритм является лишь приближением, результат достаточно точен для большинства приложений. По максимуму возможной степени аппроксимации расширенный биномиальный фильтр равен обычному биномиальному фильтру (конечно, имеющему то же время работы).

2.2. Расчет

Рисунок 18: раздвижное окно



Размытие упрощено до формы трапеции. Чем выше значения, тем больше вес пикселя.

Размытие теперь выполняется с помощью алгоритма скользящего окна. На рисунке 18 приближенное трапециевидное размытие фактически от пикселя показано сплошной линией, а желаемое размытие следующего пикселя — пунктирной линией. Разница между этими двумя функциями показана ниже. Оно меняется только перед размытием (шаг 3) путем добавления значения пикселя, на пике (шаг 1) путем вычитания двойного значения и в конце (шаг -2) путем повторного добавления значения пикселя.

В большинстве случаев это приближение будет достаточно точным, но используемый алгоритм можно доработать для большей точности. В дальнейшем всегда начинаем с шага функции. Уровни представляют собой числа трапециевидной Паскаля с чередующимися знаками. Разница двух функций, один сдвиг на шаг, составляет предыдущую функцию

Шаги аппроксимации для радиуса размытия 2	Весы $w_{n,2}(k)$
1 а:	а: 1 1
2 а: б:	а: 1 1 -1 -1 б: 1 2 1
3 а: б: в:	а: 1 1 -2 -2 1 1 б: 1 2 0 -2 -1 в: 1 3 3 1
4 а: б: в: д:	а: 1 1 -3 -3 3 3 -1 -1 б: 1 2 -1 -4 -1 2 1 в: 1 3 2 -2 -3 -1 д: 1 4 6 4 1
5 а: б: в: д: е:	а: 1 1 -4 -4 6 6 -4 -4 1 1 б: 1 2 -2 -6 0 6 2 -2 -1 в: 1 3 1 -5 -5 1 3 1 д: 1 4 5 0 -5 -4 -1 е: 1 5 10 10 5 1

Рисунок 19: расчетные веса

На рисунке 19 показаны расчетные веса разных степеней n . Весовые числа правого столбца представляют собой простое сложение чисел сверху и слева, как в трапециевидной Паскаля.

Если степень аппроксимации является радиус размытия, алгоритм вычисляет точное целочисленное представление размытия по Гауссу, что является регулярным аппроксимацией. Конечно, усилия по его приобретению аналогичны прямому расчету. Преимущество состоит в том, что степень не обязательно должна быть такой же большой, как радиус размытия, что особенно полезно для больших радиусов размытия.

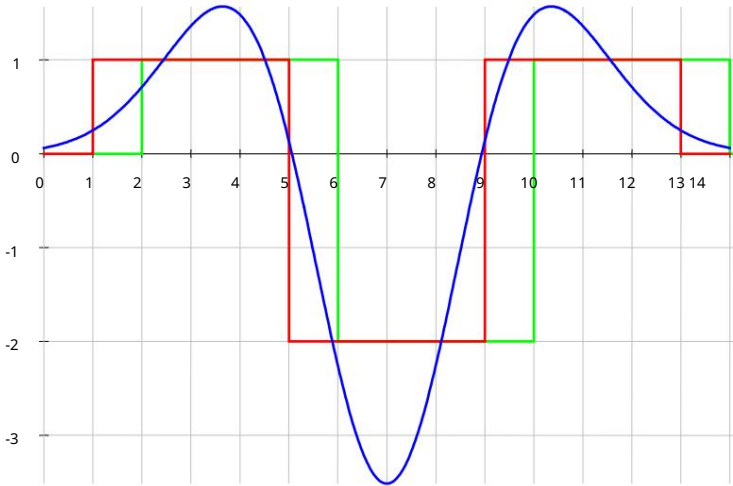


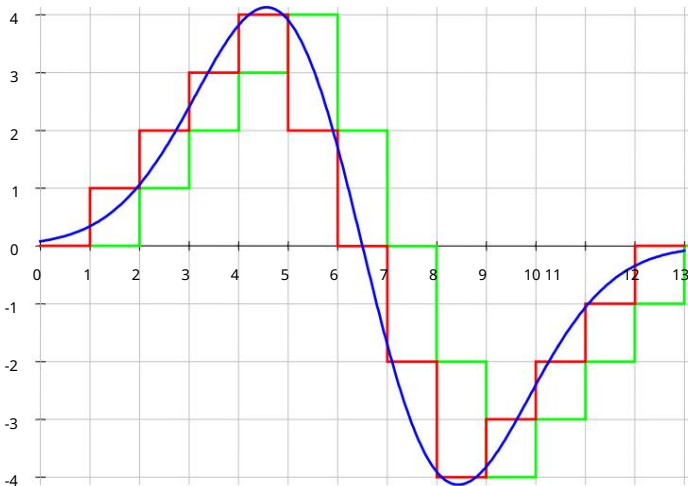
Рисунок 20: Расчетная сетка, степень 3, радиус 4

а) 2-я производная

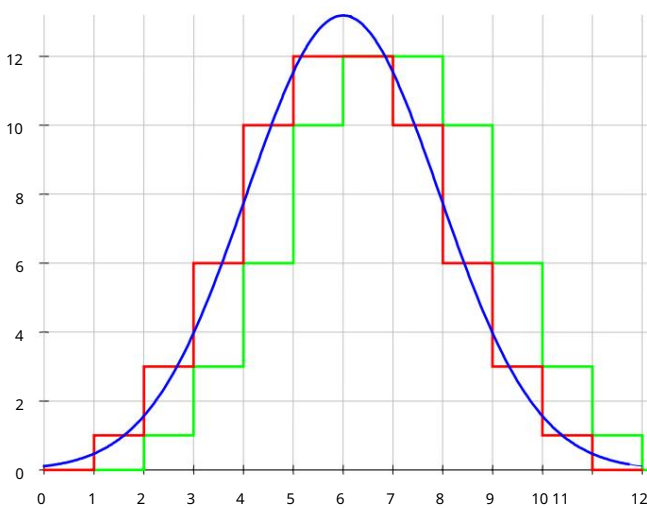
красный: текущий

пиксель: зеленый:

следующий пиксель синий: производная Гаусса



б) 1-я производная



в) дискретное приближение

Предположим, что красная функция на рисунке 20с, которая очень похожа на форму колокола Гаусса, уже рассчитана. Теперь следует вычислить зеленую функцию следующего пикселя справа. Разница между красной и зеленой функцией на рисунке 20с изображена как красная функция на рисунке 20б. Далее предположим, что эта красная функция уже рассчитана, и необходимо вычислить следующую разность, которая изображена как зеленая функция на рисунке 20б. Теперь разница между красной и зеленой функцией отображается как расщепление.

функция на рисунке 20а. Опять же, эта функция уже рассчитана, и для разницы с зеленой функцией следующего пикселя нужно добавить только коэффициент значения.

Как работает алгоритм? Предположим, что три красные функции на рисунках 20а, б и с уже настроены при инициализации. Необходимо рассчитать размытие следующего пикселя на рисунке 20с (зеленом). Красная функция из изображения 20б добавляется к красной функции из изображения 20с, чтобы получить зеленую функцию из изображения 20с. Теперь красная функция из изображения 20а добавляется к красной функции из изображения 20б, чтобы получить зеленую функцию из изображения 20б для следующего пикселя. Чтобы получить зеленую функцию из изображения 20а, значение пикселя 1 добавляется, значение пикселя 5 удваивается, значение пикселя 9 удваивается, а значение пикселя 13 удваивается. Вот и все! Приблизительно (плюс одно умножение) и доступ к 4 пикселям размытия следующего пикселя рассчитывается для общей ширины размытия, равной 10.

Если 3-я степень приближения все еще недостаточно точна, можно применить более высокие степени. Они работают так же, как объяснялось ранее. Таким образом можно получить любую необходимую точность. Конечно, более высокая точность более сложна, но время выполнения все равно не зависит от радиуса размытия.

2.3. Пример расширенной биномиальной

Определения:

последовательности:

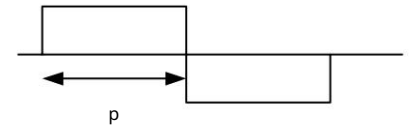
P дискретный радиус размытия (ширина шага) степень

$$n = 2, r = 3$$

$$m = 0$$

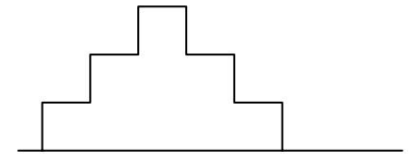
аппроксимация m-е наложение ступенчатой

функции k шагов по горизонтали



$k: 0 1 2 3 4 5$

$$m = 1$$



Для $m > 0$ вес представляет собой сумму чисел непосредственно сверху и слева, как показано в правом столбце на рисунке 20. Эта таблица весовых функций параметров m и k :

	0	1	2	3	K
0 a ₀	a ₀	a ₁	a ₂	a ₃	и k
1 a ₀ a ₀ +a ₁			a ₀ +a ₁ +a ₂	a ₀ +a ₁ +a ₂ +a ₃	есть я = 0
2 a ₀ 2a ₀ +a ₁			3a ₀ +2a ₁ +a ₂	4a ₀ +3a ₁ +2a ₂ +a ₃	k (k) + 1 есть я = 0
3a ₀ 3a ₀ +a ₁			6a ₀ +3a ₁ +a ₂	10a ₀ +6a ₁ +3a ₂ +a ₃	k K + 2 есть я = 0 2 a _n
ma ₀ ma ₀ +a ₁			m + 1 2 ₀₁₂ + ив	m + 1 2 ₀₁₂ + ив	k K и m 1 есть я = 0 K a _n

В этой таблице представлено расчет размытия пикселя k в горизонтальном направлении и шаг наложения m. Вертикально. Каждая запись представляет собой сумму элементов выше и слева.

Дискретный вес шага k для первой строки и $m = 0$ составляет $a_k = \binom{n}{k} p^k q^{n-k}$, где $p = \frac{r}{r+1}$ и $q = \frac{1}{r+1}$.

Обозначает функцию попола. Таким образом, веса $w_{n,r}(k)$ расширенного биномиального последовательности и шага k (для $m = n - 1$ наклонений) равны

$$w_{n,r}(k) = \frac{\binom{n}{k} p^k q^{n-k}}{\sum_{k=0}^n \binom{n}{k} p^k q^{n-k}} \quad [p > 0] \quad (24)$$

Коэффициенты последовательности и $w_{n,r}(k)$ являются полиномиальными коэффициентами степенного одномерного многочлена $(1 + px)^n$. Также можно выразить как рекурсию $w_{n,r}(k) = \frac{p}{r} \frac{w_{n,r}(k-1)}{w_{n,r}(k)}$ или

сумма полиномиальных коэффициентов:

$$\sum_{k=0}^n w_{n,r}(k) = \sum_{k=0}^n \frac{\binom{n}{k} p^k q^{n-k}}{\sum_{k=0}^n \binom{n}{k} p^k q^{n-k}} = 1$$

Параметры n и r выбирают степень аппроксимации и дискретный радиус.

Для $r = 1$ или $n = 0$ выражение размытия расширенного бинома сводится к точечной функции

$$w_{n,1}(k) = w_{0,r}(k) = \begin{cases} 1, & k=0 \\ 0, & k \neq 0 \end{cases}$$

Для $n = 1$ веса составляют $w_{1,r}(k) = \frac{p}{r} \frac{k}{r}$. При $r = 2$ функция представляет собой биномиальный коэффициент $w_{n,2}(k) = \frac{\binom{n}{k} p^k q^{n-k}}{\sum_{k=0}^n \binom{n}{k} p^k q^{n-k}}$

а при $r = 3$ это своего рода трёхчленный коэффициент $w_{n,3}(k) = \frac{\binom{n}{k} p^k q^{n-k}}{\sum_{k=0}^n \binom{n}{k} p^k q^{n-k}}$.

Размер последовательности (k -диапазон) равен $s = n(r - 1)$. Вне этого диапазона $0 \leq k \leq s$ функция равна нулю

$$\sum_{k=0}^s w_{n,r}(k) = \sum_{k=0}^n \binom{n}{k} p^k q^{n-k} = (p+q)^n = 1 \quad (25)$$

Это значение также определяет необходимый диапазон данных, от которого алгоритм должен обрабатывать переменные для вычислений. В противном случае произойдет переполнение. Это значение быстро растёт с увеличением степени аппроксимации.

Последовательность коэффициентов симметрична: $w_{n,r}(k) = w_{n,r}(s - k)$.

Дисперсия для дискретных функций составляет:

$$\sigma^2 = \frac{1}{\sum_{k=0}^n \binom{n}{k} p^k q^{n-k}} \sum_{k=0}^n k^2 \binom{n}{k} p^k q^{n-k} - \left(\frac{1}{\sum_{k=0}^n \binom{n}{k} p^k q^{n-k}} \sum_{k=0}^n k \binom{n}{k} p^k q^{n-k} \right)^2$$

$$\text{где } k \text{ обозначает среднее значение, половину размаха: } k = \frac{1}{\sum_{k=0}^n \binom{n}{k} p^k q^{n-k}} \sum_{k=0}^n k \binom{n}{k} p^k q^{n-k} = \frac{nr}{2} \frac{(1-p)}{2}$$

Таким образом, стандартное отклонение равно:

$$\sigma = \sqrt{\frac{2nr(1-p)}{12}} \quad (26)$$

Это поправочный коэффициент между дискретным радиусом r и радиусом размытия. Для аппроксимации -1 степень n . Фактор $\sqrt{2}$ аналогично значению константы, поскольку при $r = 1$ размытие не применяется (точечная функция).

При $r = 2$ радиус σ равно стандартному отклонению биномов: $\sigma = \frac{\sqrt{n}}{2}$.

2.3.1. Расширенный биномиальный график и на

рисунке 21 показана дискретная расширенная биномиальная последовательность $wp, g(k)$ (красный) для разных радиусов r и степеней аппроксимации n в сравнении с функцией Гаусса $g(x)$ (синий).

Обе оси функции Гаусса масштабируются до расширенного бинома, чтобы сделать график сопоставимым.

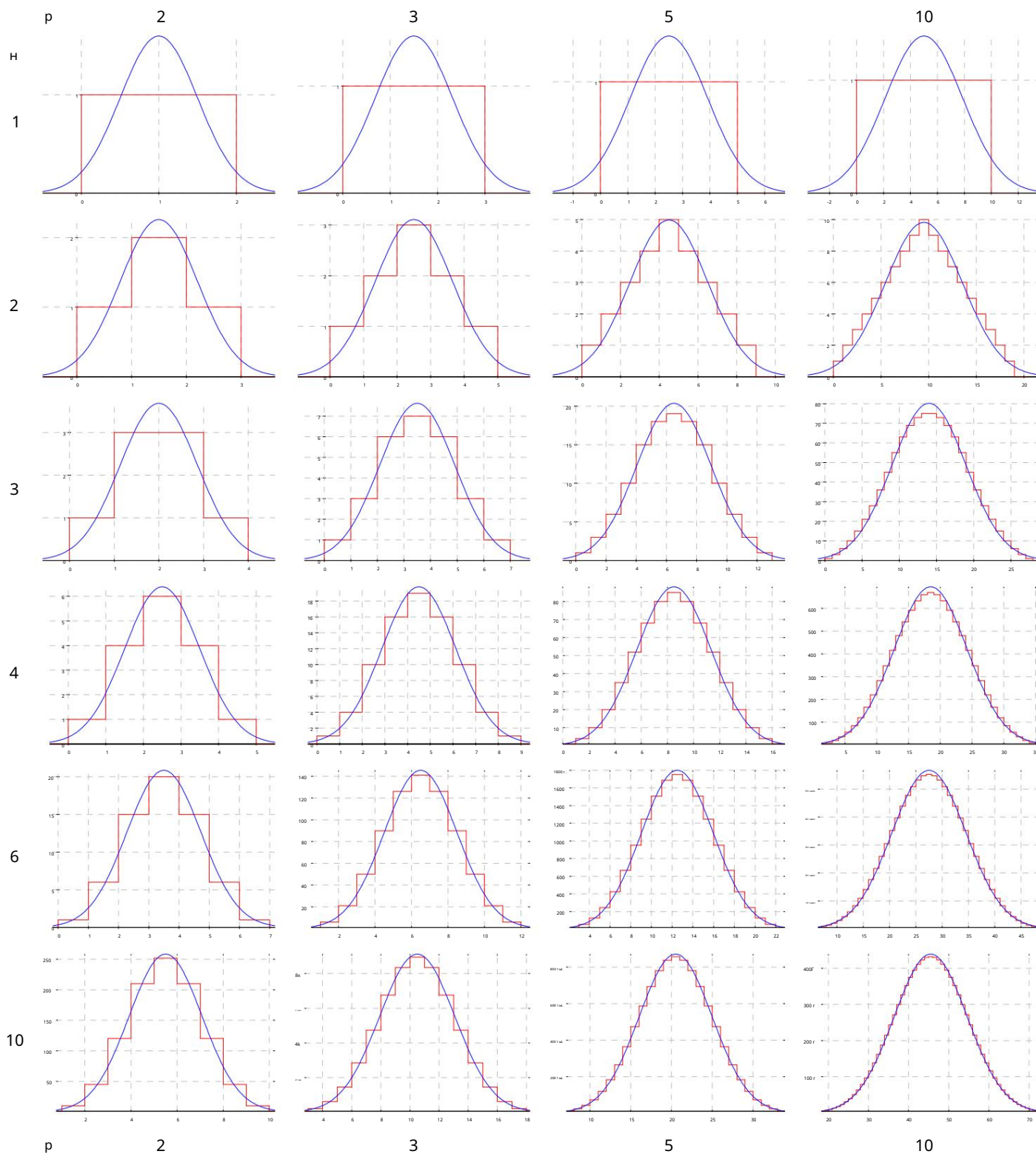


Рисунок 21: График и расширенной биномиальной функции

Обратите внимание, что расширенный биномиальный коэффициент представляет собой дискретную последовательность целых чисел, а не непрерывную функцию.

Строго говоря, сравнение дискретной и непрерывной функций не совсем корректно, поскольку аналоговая функция размытия радиуса $r = 1$ по-прежнему выполняет размытие аналогового изображения, тогда как дискретная функция размытия биномиального радиуса $r = 1$ этого не делает.

2.4. Дискретный частотный спектр

Дискретные значения, такие как расширенная биномиальная функция, так же могут быть преобразованы в просторанственной области в частотную область с помощью дискретного преобразования Фурье (ДПФ).

Последовательность n комплексных чисел a_0, \dots, a_{n-1} преобразуется в последовательность n комплексных чисел

$$\hat{a}_k, \dots, \hat{a}_{n-1} \text{ методом ДПФ по формуле: } \hat{a}_k = \sum_{a=0}^{n-1} a \cdot e^{-j2\pi \frac{ka}{n}} \text{ для } [k = 0, \dots, n-1]. \quad (27)$$

Если последовательность является четной функцией действительных чисел, то от мнимой части преобразования можно избавиться. Эта симметрия может быть достигнута условием $a_j = a_{n-j}$.

$$\text{ДПФ для последовательности из } n/2 \text{ действительных чисел } a_j = a_{n-j} \text{ даёт } \hat{a}_k = \sum_{a=0}^{n/2-1} a \cdot \cos\left(2\pi \frac{ka}{n}\right) \text{ для } k=0, \dots, n/2-1. \quad (28)$$

Преобразованная последовательность \hat{a}_k так же становится четным рядом $\hat{a}_k = \hat{a}_{n-k}$ из-за симметрии тригонометрической функции. То же самое относится и к обратному ДПФ.

Это уравнение ДПФ немного раздражает, поскольку оно не имеет никакого отношения к частотному спектру. Для лучшего понимания преобразование Фурье расширенной биномиальной последовательности разработано на основе уравнения (15).

Чтобы увидеть спектральные свойства с помощью графиков, обе оси расширенной биномиальной функции размытия масштабируются до распределения Гаусса. Такая «нормализованная» дискретная функция размытия расширенного бинома

$$\text{последовательность рассчитывается по формуле: } e^{j\pi \frac{k^2}{n}} \sum_{p=0}^{n-1} w(p) \cos\left(\frac{2\pi}{n} kp\right). \quad (29)$$

Функция $s(x)$ определяет функцию выборки пикселей изображения (преобразование). На рисунке 22 показаны различные возможности построения аналогового изображения из трех дискретных значений пикселей 2, 4, 3 и наоборот.

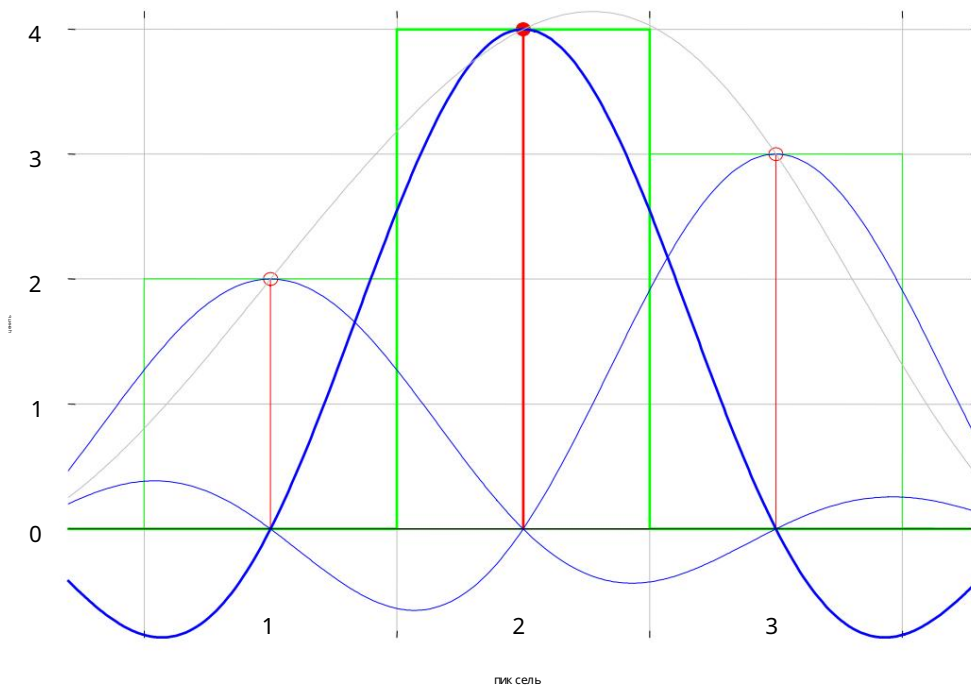


Рисунок 22:
Функция выборки пикселей $s(x)$
а) красный: дискретное значение 0
зеленый: среднее значение
б) синий: значение, ограниченное
в) серый: сумма синего и зеленого

Тогда функция частотного спектра составит:

$$S(k) = \sum_{p=0}^{n-1} s(p) \cos\left(\frac{2\pi}{n} kp\right) = \sum_{p=0}^{n-1} \left(\frac{1}{n} \sum_{k=0}^{n-1} w(k) \cos\left(\frac{2\pi}{n} kp\right) \right) \cos\left(\frac{2\pi}{n} kp\right). \quad (30)$$

Поскольку функция $f_p, g(x)$ четная, комплексная часть равна нулю

В следующей таблице представлены различные возможности и функции выборки $s(x)$ и ее преобразования Фурье $\hat{s}(\omega)$.

Пиксель выбран как	Функция $s(x)$ Преобразование Фурье $\hat{s}(\omega)$	Частотный спектр Пикан, $\Gamma(\omega)$
а) дискретное значение в центре пикселя	$D(x)$	$\frac{1}{r} \sum_{k=0}^{r-1} \cos(\omega x_k)$
б) среднее значение (целое) площадь пикселя	$\frac{\text{rect}(x/r)}{r}$	$\frac{\text{sinc}(\omega r/2)}{r}$
в) значение, ограниченное частотой	$\frac{\text{sinc}(x/r)}{r}$	$\text{rect}(\omega/2r)$

Возможны другие функции выборки.

Теперь можно было вычислить дискретный спектр последовательности пикселей.

Параметр круговой частоты становится расстоянием между дискретными пикселями r и его так же необходимо масштабировать:

$$P_{\text{дискр}} = \frac{2\pi}{r} \sum_{k=0}^{r-1} \cos(\omega x_k) \quad (31)$$

Поскольку изображение состоит из дискретных пикселей, спектр так же содержит только дискретные значения расстояния пикселя (периода пространства) r . В случае выборочной функции а) частотный спектр становится ДПФ и теперь выглядит гораздо лучше.

больше похоже на уравнение (28):

$$P_{\text{дискр}} = \frac{2\pi}{r} \sum_{k=0}^{r-1} \cos(\omega x_k) = \frac{1}{r} \sum_{k=0}^{r-1} \cos(\omega x_k) \quad [\text{целое число } r, r > 0] \quad (32)$$

Оставшееся отклонение связано с необходимостью разного масштабирования оси.

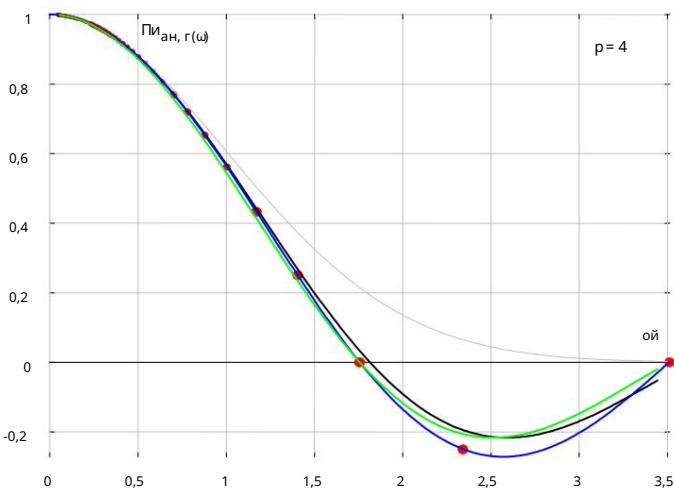
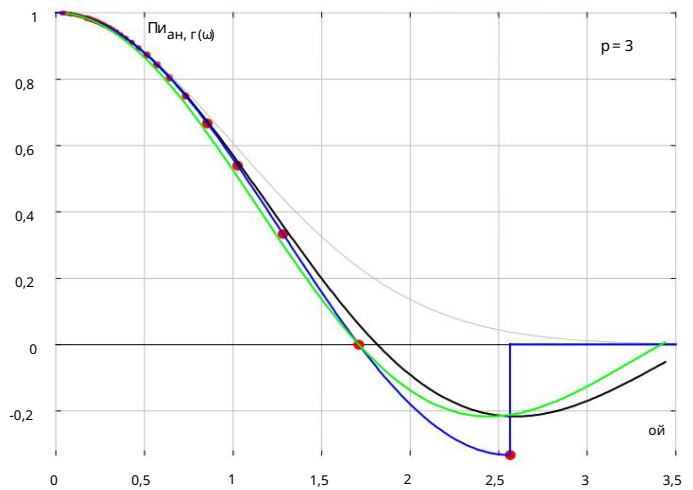
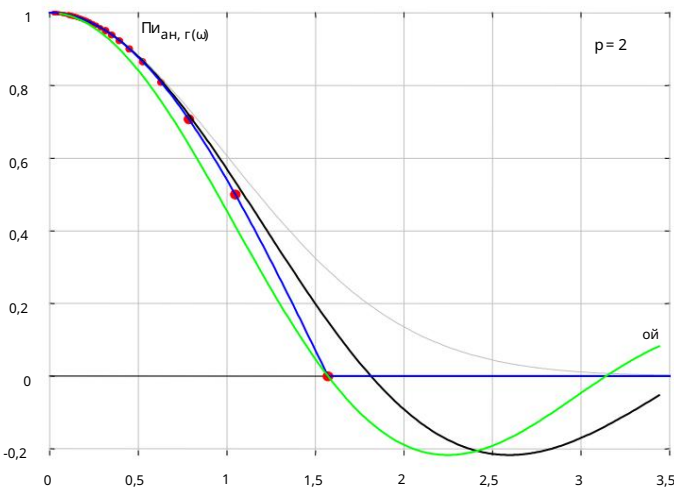


Рисунок 23: дискретные спектры 1-й степени (размытие прямоугольник а)

- для функций выборки а) красный:
- дискретное значение пикселя б)
- зеленый: среднее значение пикселя
- синий: значение, ограниченное
- частотой ч) черный: спектр аналоговой аппроксимации
- $a_1(\omega)$ серый: гауссов спектр $a_1(\omega)$

На графиках рисунок 23 показан частотный спектр первой степени приближения для разных радиусов r .

Точки на графиках находятся на дискретных значениях возможных дискретных периодов времени. Дискретные точки и начальные значения $r = 2$ из-за эффекта псевдонимов.

Максимальная видимость частоты изображения составляет только половину максимальной частоты пикселей (период пространства $r = 1$) из-за эффекта псевдонимов. В соответствии с теоремой выборки Найквиста-Шеннона затронутая частота изображения (скорость Найквиста) составляет половину частоты пикселей.

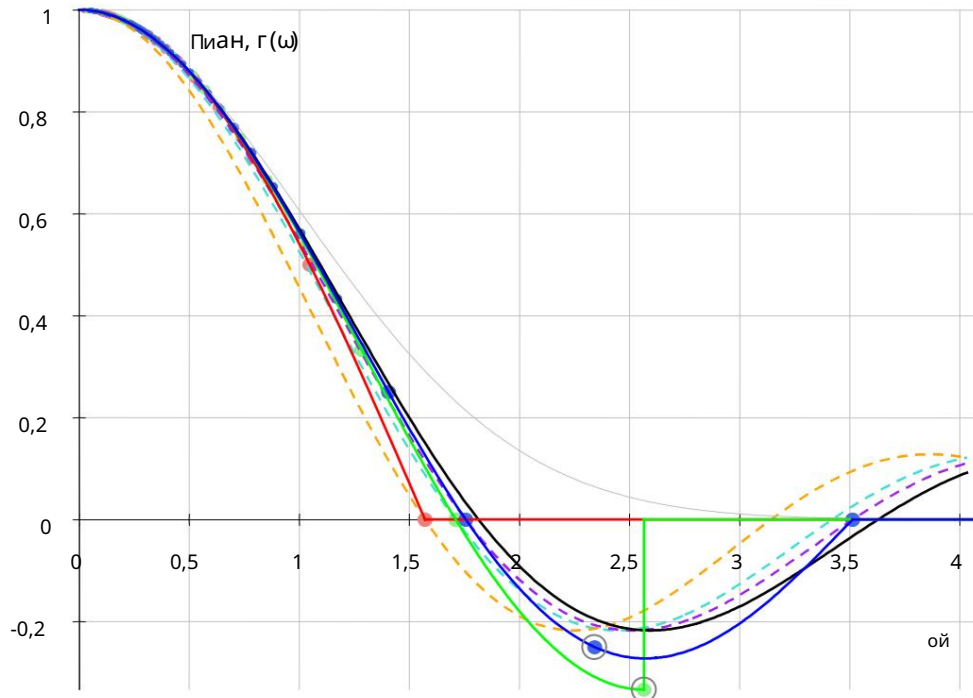


Рисунок 24: дискретный спектр 1-й степени (блочное размытие)

черный: аналоговый, $a_1(\omega)$

красный: $r = 2, a_{1,2}(\omega)$

зеленый: $r = 3, a_{1,3}(\omega)$ синий:

$r = 4, a_{1,4}(\omega)$

Спектр выборки и пикселей: а)

дискретный: точки и б)

средний: пунктирная линия в)

ограниченный частотой: линия

График и функции на рисунке 24 выглядят немного перегруженными, но изображение просто содержит все три предыдущих графика в одном для сравнения.

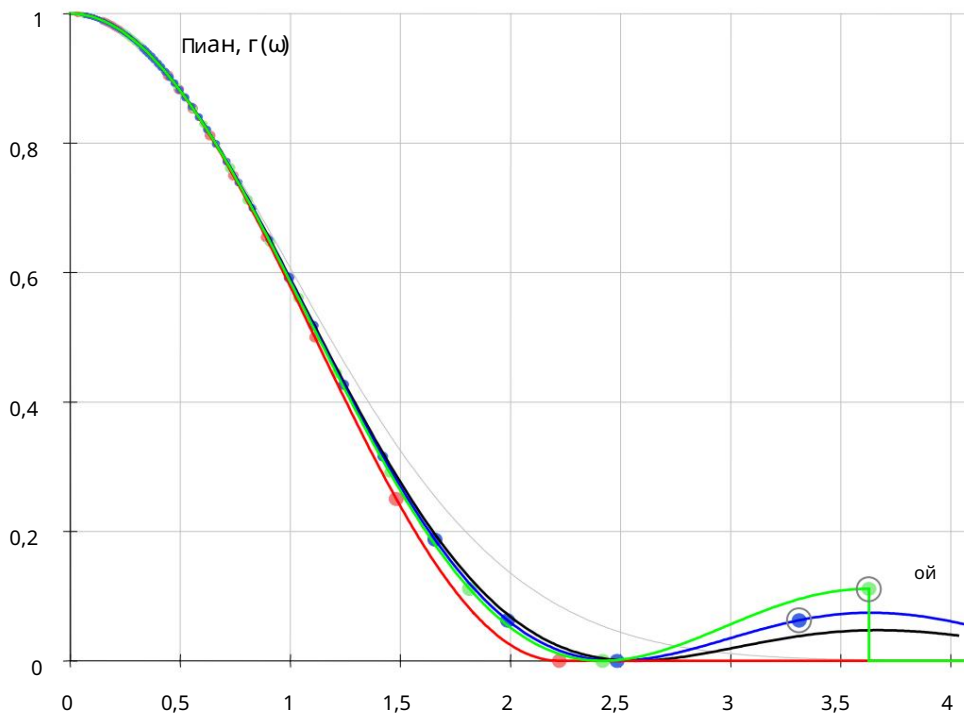


Рисунок 25: дискретный спектр 2-й степени (линейное размытие)

черный: аналог, $a_2(\omega)$

красный: $r = 2, a_{2,2}(\omega)$

зеленый: $r = 3, a_{2,3}(\omega)$

синий: $r = 4, a_{2,4}(\omega)$

На графиках рисунков 25–27 показан частотный спектр $a_{p,r}(\omega)$ различных степеней аппроксимации и радиусов. Нарисованы только дискретный спектр (точки) и частоты ограниченного спектра (линия).

Черной функцией для сравнения показана аналоговая спектральная функция $a(\omega)$ уравнения (20) соответствующей степени аппроксимации. Функция Грея представляет собой спектр гауссова размытия $ag(\omega)$.

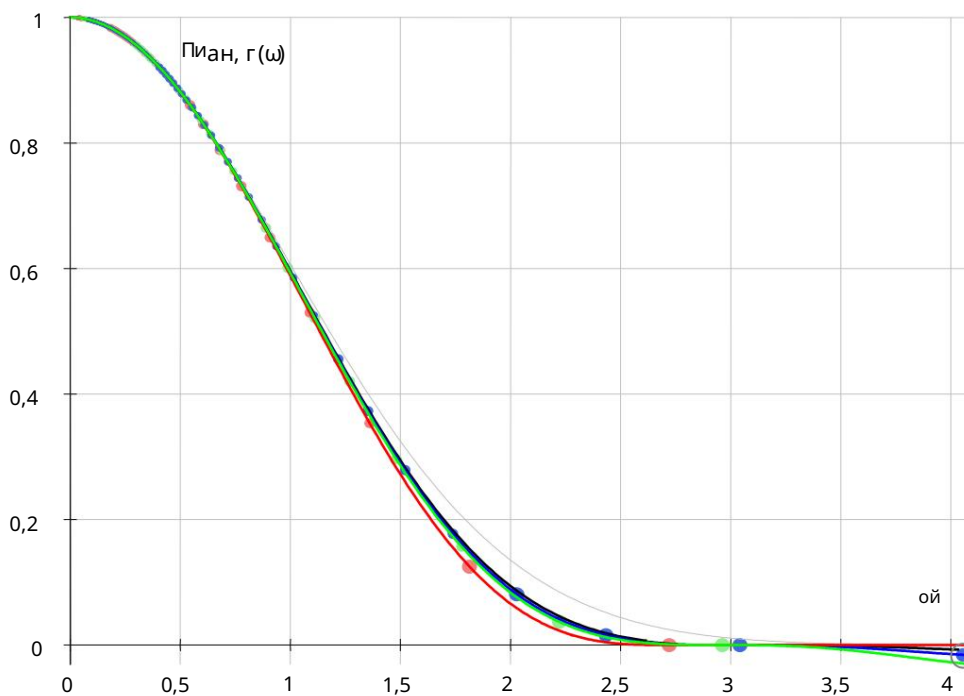


Рисунок 26: дискретный спектр 3-й степени (кватратное размытие)

черный: аналог, $a3(\omega)$

красный: $r = 2$, $a3,2(\omega)$

зеленый: $r = 3$, $a3,3(\omega)$

синий: $r = 4$, $a3,4(\omega)$

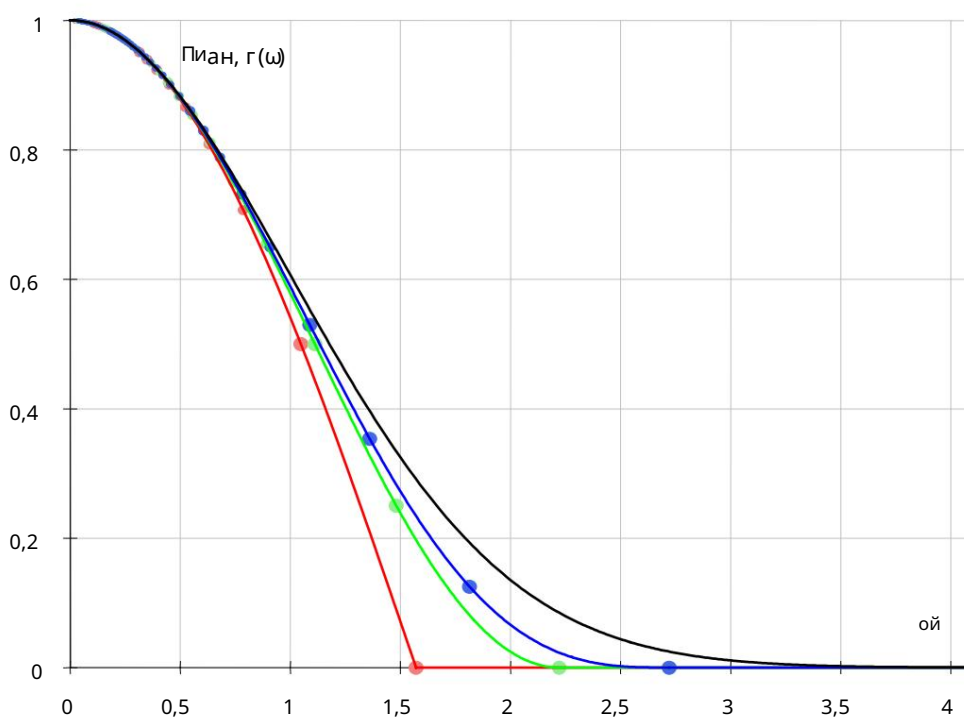


Рисунок 27: дискретный спектр радиуса $r = 2$ (биномиальное размытие)

черный: гауссовский, $ag(\omega)$

красный: 1-я степень

зеленый: (прямолинейная) 2-я степень (линейная)

синий: 3-я степень (кватрат)

График на рисунке 27 так же поясняет, почему биномиальная последовательность подходит для расчета размытия. Дискретный спектр изображения не содержит выбросов частоты

Дискретная ошибка аппроксимации:

Для любой степени аппроксимации и радиуса r существует минимальная частота $\omega_0 = 2$, к которой полностью пропуск $\rho = \sqrt{\frac{n(1-1/r)^2}{3}}$ подвliegtся: $a_n, r(\omega_0) = 0$ для дискретного периода $p = r$.

Что наиболее важно для аппроксимации, так это то, что для определенной частоты ω_0 , к которой уже полностью подвлена в размытии из изображения, существует максимальная ошибка более высоких частот $\omega > \omega_0$, к которой не полностью подвлена (как уже рассчитано для аналогового приближения в главе 1.10). Эта пиковая ошибка при первом выбросе частоты отмечена на графиках кружком. Этого не происходит при биномиальном размытии $r = 2$.

Для больших $r \gg 2$ эта пиковая ошибка так же, как ошибка, уже рассчитанная по уравнению (22), но, к сожалению худший случай дискретного приближения имеет место для радиуса $r = 3$ и составляет: $\pi \cdot \text{ап},3(\omega p) = (-3) - p$.

Вторая по величине ошибка возникает при $r = 4$ и составляет: $\pi \cdot \text{ап},4(\omega p) = (-4) - p$, что ненамного превышает ошибку аналогового приближения. Возможно, можно избежать худшего случая и всегда работать с радиусами $r > 3$.

2.5. Искусственные образцы изображений

Могут ли эти результаты анализа быть подтверждены образцами изображений? Не все более высокие частоты изображения подпадают согласно графикам спектра. Что произойдет, если применить алгоритм аппроксимации к специально подготовленным искусственным изображениям? Так же результаты видны на рисунке 28. Цвета соответствуют цветам графиков для определенных значений p и r .

Как показывают график спектра, более высокие частоты подпадают. Но для более низких степеней аппроксимации, особенно для размытия прямоугольника, не все частоты подпадают достаточно хорошо. Этот недостаток виден в образцах. Хотя частоты малых радиусов размытия на изображениях подпадают, они снова появляются при больших радиусах размытия. Этот эффект исчезает при более высокой степени приближения.

Обратите внимание, что спектр на графиках иногда бывает отрицательным. Это фазовый сдвиг частоты изображения на 180 градусов, который так же виден на образцах изображений на рисунке 28.

Неразмытый образец	p	Периоды 5, 4, 3 и 2 пикселей				Радиус размытия П
		100%	100%	100%	100%	
Размытие крестика	2	81%	71%	50%	0%	0,500
	3	54%	33%	0%	-33%	0,816
	4	25%	0%	-25%	0%	1,118
	5	0%	-20%	-20%	20%	1,414
	Линейное размытие 2	2	65%	50%	25%	0%
3	29%	11%	0%	11%	1,155	
4	6%	0%	6%	0%	1,581	
5	0%	4%	4%	4%	2,000	
Квадратное размытие 2	2	53%	35%	13%	0%	0,866
	3	16%	4%	0%	-4%	1,414
	4	8%	0%	-2%	0%	1,936
	5	0%	-1%	-1%	1%	2,449
	Биномиальное размытие	1	81%	71%	50%	0%
2		65%	50%	25%	0%	0,707
4		43%	25%	6%	0%	1,000
8		18%	6%	0%	0%	1,414

Рисунок 28: Оставшийся контрастный размытый образец из изображений, содержащих определенные частоты изображения.

Число значений пикселей размытых изображений точно подтверждает расчет дискретного спектрального анализа. Процент рисунка представлен оставшимся контрастом после применения расширенного биномиального фильтра размытия (без размытия = контраст 100%).

Эти примеры демонстрируют специальное разделение работ, которые есть сценарии с одинаковой частотой и максимальной частотой, как оторванные от остальной части спектра. Но особенно низкие степенные показатели к размытию поля для быстрого приближений, следует использовать в приложениях только с осторожностью.

Заключения:

Математический вывод спектрального анализа: если спектр имеет бесконечность, дискретный спектр $\rho(\omega)$ биномиальной последовательности $w(n)$ приближается к спектру $\rho(\omega)$ аналоговой функции $b(x)$. Если степень n стремится к бесконечности, спектр $\rho(\omega)$ аналоговой функции $b(x)$ приближается к спектру $\rho(\omega)$ функции Гаусса $g(x)$.

Практический вывод спектрального анализа: максимальная погрешность частоты ω рассчитывается по уравнению (22), откуда можно использовать как эмпирическое правило для необходимой степени аппроксимации. Для 8-битных изображений необходимая степень равна, например, $n = \ln 28 / \ln 4,6 = 3,63$, поэтому требуется степень достаточности, чтобы избежать «повторного появления эффекта более высоких частот». (Если необходима абсолютная точность, следует принять худший случай для дискретной аппроксимации радиуса $r = 3$: $n = \ln 28 / \ln 3 = 5$). Эта ошибка полностью исчезает для биномиального размытия ($r = 2$).

Преимущества алгоритма: Расширенный биномиальный расчет выполняется быстро, легко вычисляется изначительно снижает сложность программ.

Недостатки алгоритма: Более низкие степенные аппроксимации все равно могут содержать высокие частоты и изображения. Целочисленные значения, обрабатываемые для вычислений, становятся больше для больших радиусов размытия (может потребоваться 64-битная арифметика или плавающая запятая). Минимальный радиус ограничен (что более актуально для более высоких степеней приближения).

2.6. Реализация. Реализация в

кодировать просто, несмотря на сложные уравнения, использовать для объяснения теории алгоритма. Это простое расширение размытия поля.

Расширенное биномиальное размытие: для

каждого столбца выполнить свертку строки. Для каждой

строки выполнить свертку столбцов.

Свертка:

Инициализация различных пикселей

Для каждого пикселя

Добавьте разности для всех степеней i : $\text{Dif}[i+1] += \text{Dif}[i]$

Запишите следующий пиксель: $\text{Dif}[\text{радиус}]/\text{вес}$.

Добавьте следующие биномиальные разности (для всех комбинаций i):

$\text{Dif}[0] += (-1)^i * \text{комбинация}(\text{степень}, i) * \text{пиксель}(\text{радиус} * i)$

Инициализация выполняется так же, как и сама свертка, с диапазоном первого пикселя, но пиксели за пределами свертки игнорируются.

Сложность этой реализации, как и количество вычислений пикселей, составляет $O(n)$ и зависит только от степени аппроксимации n .

Примеры различных степеней аппроксимации приведены в главе исходного кода в C-коде.

Использование аппроксимации вместо точного размытия по Гауссу на самом деле не является недостатком. Прежде всего, данные изображения квантуются, поэтому даже точный расчет может быть лишь приближением аналоговой функции Гаусса.

Во-вторых, функция Гаусса имеет бесконечный диапазон, тогда как расширенный биномиальный алгоритм имеет ограниченный диапазон, что упрощает расчет.

Алгоритм, представленный в этой статье, не ограничивается размытием по Гауссу. Его универсальная концепция может быть применена к другим функциям.

2.6.1. пансионеры

Многие функции фильтра, такие как размытие по Гауссу, требуют для расчета окружающих пикселей. Но за границей пикселей не существует.

Самый простой способ обработки границы — просто повторить пиксель на границе за границей. Именно так имитируется в этом случае обрабатывают большинство программ обработки изображений (например, Photoshop). Таким образом, доступ к пикселям за пределами границы изображения насыщен до пикселя границы.

Большинство примеров программ в приложениях делают то же самое, что обычно делают алгоритмы слишком сложным. Они получают доступ к пикселям вне изображения и предполагают, что хост-программа может справиться с этой задачей.

Но, строго говоря, такая обработка не подходит для размытия. Если предположить, что изображение полностью белое с черной рамкой в один пиксель, размытие не только видит черную границу в один пиксель, потому что каждый пиксель за пределами изображения черный. Это приводит к размытию черной границы изображения.

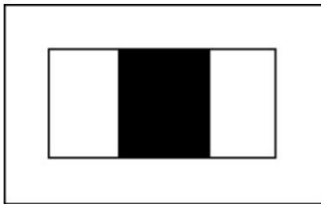
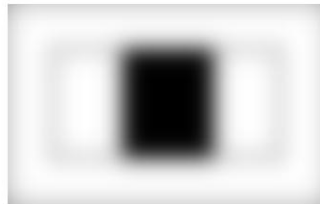


Рисунок 29а: образец изображения



б: правильное размытие границ



с: неправильное размытие границ

Правильная обработка заключалась бы в отдельном взвешивании каждого пикселя вблизи границы, следовало бы, игнорировании пикселей за пределами изображения в расчетном размытии. Но этот подход имеет недостаток: он более сложен и замедляет скорость выполнения.

К счастью, правильную обработку границы легко реализовать в расширенном биномиальном алгоритме первой степени. Наклонное размытие пикселей первой степени представляет собой трапециевидный. Этот трапециевидный нужно просто обрезать, чтобы избежать влияния гипотетического пикселя за границей. В главе 3.2.5 показан пример программы для правильной обработки границы.

2.6.2. Радиус размытия с плавающей запятой. Недостаток

Использование (расширенного) бинома для расчета размытия заключается в том, что возможны только целые значения радиусов размытия. Это не так уж и плохо, поскольку эффективный радиус всегда представляет собой часть целочисленного радиуса, рассчитанного по уравнению (26). Но было бы удобно не ограничиваться целыми значениями.

Такое вычисление радиуса размытия с плавающей запятой возможно путем вычисления двух последовательных радиусов r и $r+1$ и выполнения правильной интерполяции между результатами.

В главе 3.2.5 показан пример программы расчета радиуса размытия с плавающей запятой путем интерполяции в второй степени аппроксимации.

2.6.3. Пиксельный буфер

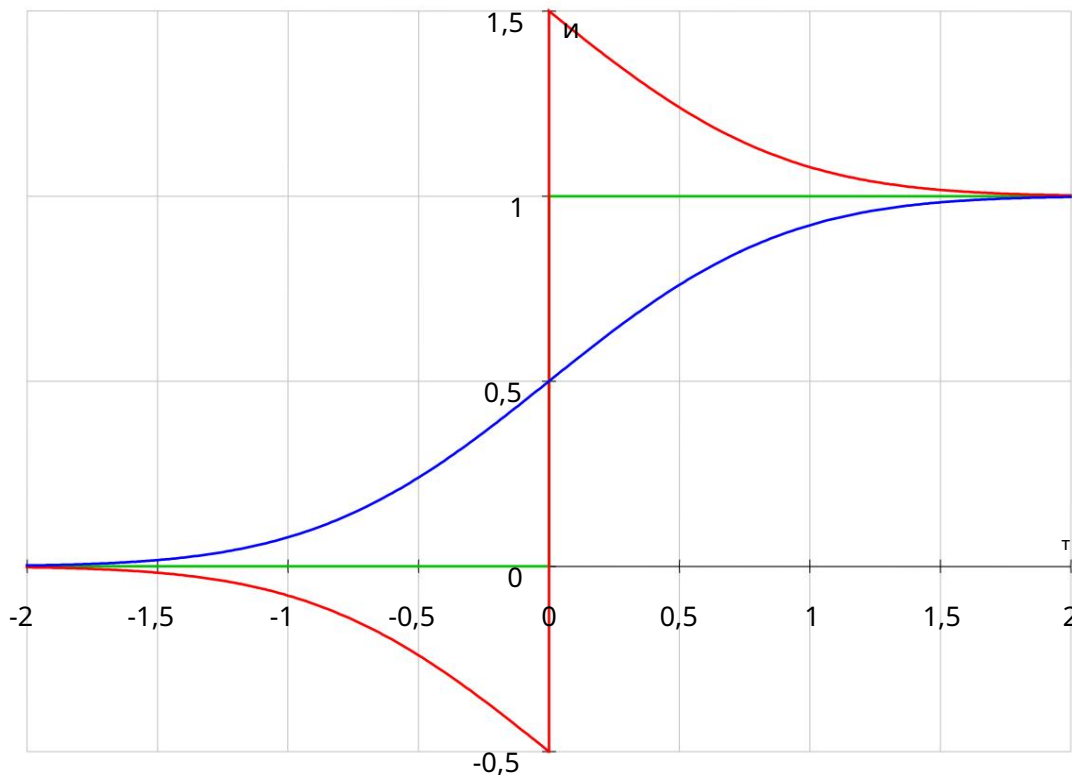
Каждому алгоритму размытия необходим доступ к окружающим пикселям. Поскольку двумерное размытие выполняется двумя последовательными одномерными размытиями, необходим некоторый буфер изображения для хранения временных результатов первого запуска. Поскольку доступ к пикселям может быть дорогостоящим, проблему можно решить с помощью небольшого буфера пикселей.

Буфер пикселей сохраняет исходные пиксели в одном измерении текущего окружающего размытия. Таким образом, уже рассчитанное размытие может быть немедленно сохранено без перезаписи исходного пикселя, а доступ к исходному пикселю для расчета усредняется за счет буфера пикселей.

2.7. Другой эффективный алгоритм размытия. Для ускорения

Вычислений для увеличения радиуса размытия используются другие методы. Например, можно выполнить размытие с помощью преобразования БПФ. Таким образом, время выполнения каждого значения равно $O(\log(r))$. Но такой алгоритм очень сложен и требует огромных затрат на вычисления. В большинстве случаев это не стоит затратных усилий.

Другая возможность — использовать конечный автомат (SKIPSM), но для этого требуется большой временный буфер [7].



Изображение 30:
 фильтр размытия и
 размытия
 а. исходный ввод б.
 фильтр размытия
 в. фильтр размытия

На рисунке 30 показана реакция фильтра размытия и резкости. Выходной сигнал повышения резкости: $\text{резкость} = 2 \times \text{вход} - \text{размытие}$.

Пример программы для фильтра размытия-резкости находится в приложении с исходным кодом. Размытие и резкость имеют отдельные ползунки и применяются одновременно. Если оба ползунка имеют одинаковое значение, конечно, ничего не произойдет. Разницу вносит ползунок порога. Если локальный контраст (выбранного радиуса) ниже порога этого значения, применяется только размытие. Для локального контраста выше порога применяется как размытие, так и повышение резкости.

Таким образом, для низкого контраста, такого как шум, применяется фильтр размытия, тогда как более высокий контраст усиливается.

Без размытия этот фильтр работает как USM-фильтр. Кроме того, можно применить размытие, которое влияет только на низкий контраст (шум).

2.10. Рекомендации

- [1] Уильям Х. Пресс, Сол А. Теукольский, Уильям Т. Веттерлинг и Брайан П. Фланнери: Число рецептов
 Издательство Кембриджского университета, 3-е издание, 2007 г., <http://sdu.ictp.it/nr/index.html>.
- [2] Дональд Э. Кнут: Искусство компьютерного программирования, Том 1, 3-е издание, Addison-Wesley, 1997 г.
- [3] Ганс Дж. Диршмид: Математические основы электротехники, Vieweg, 1992.
- [4] Ян Т. Янг, Лукас Дж. ван Влигт: Рекурсивная реализация фильтра Гаусса, Делфт, 1995, <http://www.ph.tn.tudelft.nl/~lucas/publications/1995/SP95TYLV/SP95TYLV.pdf>
- [5] Мэттью Обери, Уэйн Люк: Биномиальные фильтры Журнал обработки сигналов СБИС, 1995, <http://www.doc.ic.ac.uk/~wl/papers/bf95.pdf>
- [6] Ян Т. Янг, Лукас Дж. ван Влигт, Пит В. Вербек: Рекурсивный фильтр по Гауссу, ICPR 1998, <http://www.ph.tn.tudelft.nl/~lucas/publications/1998/ICPR98LVTPV/ICPR98LVTPV.pdf>
- [7] Фредерик М. Вальца, Джон В.В. Миллер: Эффективный алгоритм размытия по Гауссу с использованием конечных автоматов, Бостон, 1998, www.engin.umd.umich.edu/~jwvm/ece581/21_GBlur.pdf.
- [8] Ян Т. Янг, Ян Дж. Гербрандс, Лукас Дж. ван Влигт: Основы обработки изображений, Делфтский университет.
 of Technology, V2.2, <http://www.diplib.org/home222> [9] Дэвид Хейл:
 Рекурсивные фильтры Гаусса, Отчет CWP 546, 2006 г., <http://ww.cwp.mines.edu/Meetings/Project06/cwp546.pdf>
- [10] Сильвен Парис, Пьер Корнпробст, Джек Тамблин и Фредо Дюран: нежное введение в двустороннюю связь.
 Фильтрация и ее применение, 2008 г., http://people.csail.mit.edu/sparis/bf_course/

2.11. Инструменты

Для работ к этому алгоритму потребовалось несколько инструментов.

- Система компьютерной алгебры Maxima использовалась для символьной математики и графиков:

<http://maxima.sourceforge.net/>. • Алгоритмы

были протестированы с помощью Filtermeister, создателя графического плагина: <http://www.filtermeister.com/>.

3. Исходный код

3.1. Максимальная команда

/* Пакет рисования и функции необходимы для графиков функций */ load(funcs); загрузить (рисовать);

/* расширенная биномиальная функция */

```
b(n,x):=sqrt(3*n)/(12*(n-1)!)*sum((-1)^i*combination(n,i)*(sqrt(n/12)*x+n/2-i)^n/abs(sqrt(n/12)*x+n/2-i),i,0,n);
```

/* аналоговый спектр */

```
a(n,x):=(sin(x*sqrt(3/n))/(x*sqrt(3/n)))^n;
```

/* расширенная биномиальная последовательность */

```
w(n,r,k):=sum((-1)^floor(i/r)*combination(n-1,floor(i/r))*combination(n+ki-2,ki),i,0,k);
```

/* дискретный спектр */

```
u(n,r,x):=sum(w(n,r,k)*cos(x*(kn*(r-1)/2)/sqrt(n*(r^2-1)/12))k,0,n*(r-1))/r^n;
```

/* прямоугольная свертка */ rect(n,x):=sum((-1)^i/

```
(2*(n-1)!)*combination(n,i)*(x+n/2-i)^n/abs(x+n/2-я),я,0,n);
```

/* расширенный биномиальный гауссов график */

```
Plot_bi(n,r):=(k:(n*r)/2, s:sqrt(n*(r^2-1)/12), /* средняя, отклонение */ draw2d(axis_top=false, axis_right=false, сетка а=true, хaxis=true, уaxis=false, axis_left=false, xtics_axis=true, ytics_axis=true, цвет=красный, явный(w(n,r,floor(x+1/2)),x,k-3*s,k+3*s), цвет=синий, явный(r^n*exp(-(xk/s)^2/2)/sqrt(2*pi)/s, x,k-3*s,k+3*s)))$
```

3.2. Программа Filtermeister

Программа для Filtermeister была написана для тестирования различных алгоритмов. Filtermeister — это плагин для Photoshop с языком программирования, под названием C, и простым доступом к информации об изображениях.

Filtermeister доступен для тестирования на [сайте http://www.filtermeister.com/](http://www.filtermeister.com/).

Если вы не знакомы с Filtermeister, несколько слов о программах на языке C:

Filtermeister (в бет-а-версии 7) не знает C-директив (например, #define) и пользуется только функциями. Поэтому иногда код может выглядеть немного странно. Нормальные C-массивы тоже существуют. Одномерный целочисленный массив размером 1024 (N_CELLS) доступен через функции put/get. Трёхмерные массивы доступны с помощью специальных функций.

Пиксельный буфер использует целочисленный массив put/get и рассчитывает на то, что доступ ограничен только с помощью буфера размером N_CELLS.

Все примеры программ работают с 8- и 16-битными изображениями в любом цветовом режиме.

Размытие по рамке (приближение первой степени) слишком простое, а размытие неудовлетворительно для программы

- Программы 2-й, 3-й и 4-й степени приближения являются примерами реализации алгоритма и могут быть легко расширены до любой степени. • Программа произвольной степени аппроксимации

предназначена для сравнения влияния различных степеней на изображения.

- Улучшенный пример в той же степени правильно обрабатывает большие и малые радиусы границы. • Пример обнаружения границ и размытия-резкости демонстрирует некорректное применение алгоритма. • Примеры резкого и пониженного размытия по Гауссу — это два других алгоритма размытия.

3.2.1. Аппроксимация в той же степени Программа аппроксимации

в той же степени представляет собой значительное усовершенствование метода размытия прямоугольником. Это так же просто и имеет лишь небольшую погрешность аппроксимации. %ffr

Категория: "easy.Фильтёр"

Название: "Гаусс2"

Версия: "1.1"

Имя файла: «gauss2.8bf»

Автор: «Алоис Зингль»

Авторские права: "© 2010"

URL-адрес: "http://free.pages.at/easyfilter/gauss.html"

10 Описание: «В той же степени расширенного биномиального фильтра размытия по Гауссу».

ctl(0): "Радиус (пиксель)", делитель = (i0=3), диапазон=(0, (int)(N_CELLS*i0/4.9))

ОнФильтерСтарт:

```
{
    // устанавливаем отступы к радиусу размытия
    int radius = DoesProxy?(ctl(0)+zoomFactor/2)/zoomFactor:ctl(0);
    NeedPadding = sqrt(6.)*radius/i0+1; BandWidth = sqrt(6) = коэффициент степени //
    100+4*needPadding;
    isTileable = !doingProxy; 20 вернуть // разбиваем большие изображения
ложь;
}

Для каждой плитки:
{
    int radius = sqrt(6.*ctl(0)*ctl(0)/(scaleFactor*scaleFactor*i0*i0)+1);
    для (z = 0; z < Z; ++z) { // для всех значений плоскости
        30 для (x = x_start; x < x_end; ++x) { // вертикальное размытие...
            int dif = 0, sum = (радиус*радиус)>>1;
            для (y = y_start-2*radius; y < y_end; ++y)
            { // внутренний цикл вертикального размытия
                если (y >= y_start)
                {
                    pset(x, y, z, sum/(радиус*радиус)); dif += get(y- // устанавливаем различия в
                    radius)-2*get(y); } else if (y+radius >= y_start) dif // пиксели // вверх // размытие +1, -2, +1
                    -= 2*get(y);
                    40 sum += dif += p = src(x, y+radius, z); put(p, y+радиус); // накатываем буфер размытия
                    // пиксели // следующий
                } // и //
            } // и //
            // Обновляем индикатор выполнения и отменяем если ЭКУ клавиша была нажата
            if (updateProgress(y_start+(y_end-y_start)*z/Z, Y)) abort();
            для (y = y_start; y < y_end; ++y) { // горизонтальное размытие...
                50 int dif = 0, sum = (радиус*радиус)>>1; для (x =
                x_start-2*радиус; x < x_end; ++x)
                { // внутренний цикл вертикального размытия
                    если (x >= x_start)
                    {
                        pset(x, y, z, sum/(радиус*радиус)); dif += get(x- // устанавливаем размытый
                        радиус)-2*get(x); // пиксели // различия: вверх // +1, -2, +1
                    }
                }
            }
        }
    }
}
```

```

        Гауссу } else if (x+radius >= x_start) dif -= 2*get(x);
        sum += dif += p = pget(x+radius, y, z); положит в (p, x+радиус); // наклеиваем размытие пикселей //
        // буферизуем следующий пиксель
    } // // икс
    } y //
60 } // ветвящая плоскость

    вернуть истину; //Сделанный!
}

ОнФильтрЭнд:
{
    обновлениеПрогресс (0, 1);
    вернуть ложь;
}

```

3.2.2. Приближение третьей степени

Программа третьей степени приближения достаточна точна для большинства приложений. Единственным недостатком этого приближения третьей степени является смещение изображения на полпикселя для каждой половины радиуса размытия пикселя. %ffr

```

Категория: "easy.Фильтр"
Название: "Гаусс3"
Версия: "1.1"
Имя файла: «gauss3.8bf»
Автор: «Алоис Зингль»
Авторские права: "© 2010"
URL-адрес: "http://free.pages.at/easyfilter/gauss.html"

```

10 Описание: «Третья степень расширенного биномиального алгоритма фильтра размытия по Гауссу».

```

ctl(0): «Радиус (пиксель)», делитель = 2, диапазон = (0,N_CELLS/3)

```

```

ОнФильтрСтарт:

```

```

{
    int radius = DoesProxy?(ctl(0)+zoomFactor/2)/zoomFactor:ctl(0); NeedPadding = 3*радиус/2+2;

    BandWidth = 100+4*needPadding;
    isTileable = !doingProxy; 20 вернуть // разбиваем больше изображения
ложь;
}

Для каждой плитки
{
    int radius = sqrt(1.0+ctl(0)*ctl(0)/(scaleFactor*scaleFactor));

    для (z=0; z < Z; ++z) { // для всех ветвящих плоскостей

        для (x = x_start; x < x_end; ++x) { // размытие по вертикали для каждой строки

            int ервал диф = 0, дер = 0; сумма с плавающей запятой = 0;
            для (y = y_start-3*радиус; y < y_end; ++y) { // внутренний цикл вертикального размытия

                если (y >= y_start) {

                    dif += 3*(get(y)-get(y+radius))-get(y-radius); pset(x, y, z, (int)(sum/ // {+1,-3,+3,-1} //
                    (радиус*радиус*радиус)); устанавливаем размытый пиксель
                } else if (y+radius >= y_start) dif += 3*(get(y)-get(y+radius));
                иначе if (y+2*радиус >= y_start) dif -= 3*get(y+radius);
            40 sum += дер += dif += p = src(x, y+3*радиус/2, z); put(p, y+2*радиус); // наклеиваем размытие пикселей //
            // буферизуем следующий пиксель
        } // и //
    } // икс
    //Обновляем индикатор выполнения и отменяем, если была нажата клавиша
    if (updateProgress(y_start+(y_end-y_start)*z/Z, Y)) abort();

    для (y = y_start; y < y_end; ++y) { // размытие по горизонтали для каждого столбца

        int ервал диф = 0, дер = 0; сумма с плавающей запятой = 0;
        50 для (x = x_start-3*радиус; x < x_end; ++x) { // внутренний цикл горизонтального размытия

            если (x >= x_start) {

```

```

        dif += 3*(get(x)-get(x+radius))-get(x-radius); pset(x, y, z, (int)(sum/
        (рад иус*рад иус*рад иус)); // {+1,-3,+3,-1} //
        } else if (x+radius >= x_start) dif += 3*(get(x)-get(x+radius));
        иначе e if (x+2*radius >= x_start) dif -= 3*get(x+radius);
        sum += der += dif += p = pget(x+3*radius/2, y, z); put(p, x+2*рад иус); // наклеиваем размытие пикселей //
        // буферизуем следующий пиксель

60     } // икс
        } y //
        ц вет овая плоскость //
    } Вернуть истину; Готово!
}

ОнФильтерЭнд:
{
    обновлениеПрогресс (0, 1);
    вернуть ложь;
70 }

```

3.2.3. Четвертая степень приближения

Приближение четвертой степени почти не отличается от истинного размытия по Гауссу и может использоваться даже для 16-битных изображений. %fpr

Категория: "easy.Фильтер"

Название: "Гаусс4"

Версия: "1.1"

Имя файла: «gauss4.8bf»

Автор: «Алоис Зингль»

Авторские права: "© 2010"

URL-адрес: "http://free.pages.at/easyfilter/gauss.html"

10 Описание: «Четвертая степень расширенного биномиального алгоритма фильтра размытия по Гауссу».

```

ctl(0): "Рад иус (пиксель)", range=(0,(int)(N_CELLS/4/1.73)) // ограничиваем буфер

ОнФильтерСтарт:
{
    int radius = делать Proxy/(ctl(0)+scaleFactor/2)/scaleFactor:ctl(0); NeedPadding = 2*1,73*рад иус+3;
    isTileable = !doingProxy; BandWidth = // 1,73 = sqrt(12/grade) = коэффициент деления // разделение
    100+4*needPadding; // больше изображений

20 вернуть ложь;
}

Для каждой плитки:
{
    int radius = sqrt(3.0*ctl(0)*ctl(0)/(scaleFactor*scaleFactor)+1); интервал x, y, g, r;

    float Weight = 1,0/((double)рад иус*рад иус*рад иус*рад иус);

30     для (z=0; z < Z; ++z) { // для всех цветов плоскости
        для (x = x_start; x < x_end; ++x) { // вертикальное размытие...

            float dif = 0., der1 = 0., der2 = 0., sum = 0.;
            для (y = y_start-4*radius; y < y_end; ++y) { // инициализирующие значения для первой настройки и размытия

                если (y >= y_start)
                { // {+1,-4,+6,-4,+1}
                    dif += -4*(get(y-рад иус)+get(y+рад иус))+6*get(y)+get(y-2*рад иус);
                    pset(x, y, z, (int)(сумма*Вес)); } еще // устанавливаем размытие пикселей

40                 {
                    if (y+3*radius >= y_start) dif -= 4*get(y+radius); if (y+2*radius >= y_start) dif += // -4, //
                    6*get(y); if (y+radius >= y_start) dif -= 4*get(y-radius); // +6, // -4,(+1)}

                }
                sum += der1 += der2 += dif += p = src(x, y+2*radius-1, z); put(p, y+2*рад иус); // наклеиваем размытие
                // пиксель буфера, минимальный размер буфера: 4*рад иус
            } // и //
        } // икс

50 // Обновляем индикатор выполнения и отменяем если клавиша была нажата
    if (updateProgress(y_start+(y_end-y_start)*z/Z, Y)) abort();
}

```

```

for (y = y_start; y < y_end; ++y) { // горизонтальное размытие...

    float dif = 0., der1 = 0., der2 = 0., sum = 0.;
    for (x = x_start-4*radius; x < x_end; ++x) { // набор ввержачальных значений для первого пикселя

        если (x >= x_start)
        { // {+1,-4,+6,-4,+1}
            dif += -4*(get(x-радиус)+get(x+радиус))+6*get(x)+get(x-2*радиус);
            pset(x, y, z, (int)(сумма*Вес)); // еще // усредняем размытый пиксель

            {
                if (x+3*radius >= x_start) dif -= 4*get(x+radius); if (x+2*radius >= x_start) dif += // -4, //
                6*get(x); if (x+radius >= x_start) dif -= 4*get(x-радиус); // +6, // -4,(+1)}

            }
            sum += der1 += der2 += dif += p = pget(x+2*radius-1, y, z); put(p, x+2*радиус); // наклеиваем размытие //
            // буфер пикселей, минимальный размер буфера: 4*радиус
        } // // икс
    } // у //
    // ц вет овая плоскость //
} // Вернуть истину; Готово!
}

ОнФильтерЭнд:
{
    обновлениеПрогресс (0, 1);
    вернуть ложь;
}
80 }

```

3.2.4. Произвольная степень приближения

Степень аппроксимации можно выбирать свободно. Этот пример программы только проверяет алгоритм. Его можно использовать для сравнения различных степеней приближения эффекта размытия. В Filtermeister реализация фиксированной степени проще и быстрее. Требуется как минимум Filtermeister версии 1.0 beta 9. %ffp

Категория: "easy.Фильтер"
 Название: «Гаусс»
 Версия: "1.1"
 Имя файла: "gauss.8bf"
 Автор: «Алоис Зингль»
 Авторские права: "© 2010"
 URL: "http://free.pages.at/easyfilter/gauss.html"

10 Описание: «Произвольная степень расширенного биномиального фильтра размытия по Гауссу».

```

ctl(0): "Радиус (пиксели)", делитель = (i0=5), диапазон = (0,255*i0)
ctl(1): «Степень аппроксимации», диапазон = (1, 8), страница = 2
ctl(2): StaticText, "n = 1, r = 1, Radius = 0,00", size = (100,*)

```

ОнФильтерЭкспорт:

```

{
    int radius = DoesProxy?(ctl(0)+zoomFactor/2)/zoomFactor:ctl(0); // усредняем от углы к радиус размытия
    NeedPadding = ctl(1)*radius*sqrt(3.0/ctl(1)/i0+3); 20 BandWidth = // коэффициент степени
    100+4*needPadding;
    isTileable = !doingProxy; allocArray(0, // разбиваем большие //
    ctl(1), 0, 0, 8); вернуть ложь; // изображения // двойной массив для произвольных размытия

}

OnCtl(n):
{
    // буфер пикселей получения/вставки и содержит только N_CELLS записей, поэтому ограничить значения ползунка //
    int f = N_CELLS*i0*sqrt(ctl(1)/12.0)-i0; if (e == FME_VALUECHANGED) // градусный коэффициент
    && n < 2 && ctl(0)*ctl(1) > f
    30 setCtlVal(1-n, f/ctl(n)); вернуть ложь; // ограничиваем необходимый буфер пикселей к N_CELLS

}

Для каждой плитки
{
    int радиус = (ctl(0)+scaleFactor/2)/scaleFactor; int x, y, z, p, i, степень = ctl(1); // Радиус размытия
    радиус = sqrt(12.0*радиус*радиус/градус/i0/i0+1); // коэффициент
}

```

```

40   setCtltTextv(2,"n = %d, r = %d, Radius = %.2f", ct(1), radius,
      sqrt(ct(1)*(radius*radius-1)/12.0)*scaleFactor);
      // степень обзора, дискретная и //
      // эффективный радиус

      для (z=0; z < Z; ++z) {
      // для всех уровней плоскости

      // Обновить индикатор выполнения и отменить, если ЭКУ клавиша была нажата
      if (updateProgress(y_start+(y_end-y_start)*z/Z, Y)) abort();

      for (x = x_start; x < x_end; ++x) {
      // вертикальное размытие...

50     двойной диф = 0, сумма;
      ffillArray (0, 0,0);
      // устанавливаем производные к 0

      for (y = y_start-grade*radius; y < y_end; ++y) {
      // внутренний цикл вертикального размытия
      // максимальный размер буфера: радиус*градус //
      // пиксель буфера

      for (p = 1, i = 0; i <= степень; ++i) {
      // накладываем различия

      если (y+(степень-i)*радиус < y_start) сломать; dif += p*get(yi*radius); // все еще на стадии инициализации,
      p = p*(i-степень)/(i+1); // разрываем //
      // пиксель // следующий бином

60     }

      for (sum = dif/radius, p = степень -1; p--;) fputArray(0, p, 0, 0, sum =
      fgetArray(0, p, 0, 0)+sum/radius);
      // накладываем размытие пикселей //
      // замедляем ФМ

      if (y >= y_start) pset(x, y, z, (int)sum);
      // устанавливаем размытый пиксель
      } // и //
      } // и //
70     for (y = y_start; y < y_end; ++y) {
      // горизонтальное размытие...

      двойной диф = 0, сумма;
      ffillArray (0, 0,0);
      // устанавливаем производные к 0

      for (x = x_start-grade*radius; x < x_end; ++x) {
      // внутренний цикл горизонтального размытия // пиксель буфера

      put(pget(x+grade*(radius-1)/2, y, z), x);
      // накладываем различия

80     for (p = 1, i = 0; i <= степень; ++i) {
      // накладываем различия

      если (x+(степень-i)*радиус < x_start) сломать; dif += p*get(xi*radius); // все еще на стадии инициализации,
      p = p*(i-степень)/(i+1); // разрываем //
      // пиксель // следующий бином

      for (sum = dif/radius, p = степень -1; p--;) fputArray(0, p, 0, 0, sum =
      fgetArray(0, p, 0, 0)+sum/radius);
      // накладываем размытие пикселей //
      // замедляем ФМ

      if (x >= x_start) pset(x, y, z, (int)sum);
      // устанавливаем размытый пиксель
      } // и //
      } // и //
90     } // и //
      // ветвящая плоскость //
    } Вернуть истину; Готово!
  }

  ОнФильтерЭнд:
  {
  обновлениеПрогресс (0, 1);
  свободныйМассив (0);
  вернуть ложь;
100 }

```

3.2.5. Улучшенное приближение в тороидальной степени

В этом примере программно используется в тороидальной степени приближения, как и раньше, но с двумя улучшениями. Во-первых, вместо ограничения радиуса размытия целью можно обработать плавающие точки и для небольших радиусов размытия. И во-вторых, размытие границ пикселей рассчитывается правильно (лучше, чем в PhotoShop). %ffp

```
/*
```

Быстрое размытие по Гауссу расширенным биномиальным алгоритмом первой степени

```

* прост о: очень прост ой расч ет размытия быст рый: нет
* зависимость и времени выполнения от радиуса размытия точ ный:
* правильный расч ет размытия пик селя вблизи и границ ыболь шой д иапазон размытия радиуса с
* плавающей запятой работ ает для всех ц вет овых режимов, вк люч ая
* бит овое и моз аич ное изображение 16

```

10 */

К атегория: "easy.Филь т р"

Название: «Размытие по Гауссу»

Версия: «1.0»

Имя файла: "gauss.8bf"

Автор «Алоис Зингль»

Авторские права: "© 2010 GPL"

URL-адрес: "http://free.pages.at/easyfilter/gauss.html"

Описание: «Алгоритм быстрого фильтра размытия по Гауссу».

20

// i0 = CtlDivisor(0); необходимое количество ячеек для получения/вставки: 2,45*2*радиус+1

ctl(0): «Радиус (пиксель)», делитель = (i0=10), диапазон = (0, (int)(N_CELLS*i0/(2.45*2)-1))

Фильтер ст арг :

```

{
    // устанавливаем отступы к радиусу размытия
    int Radius = ctl(0)/(doingProxy ? ZoomFactor*i0 : i0) + 1;
    NeedPadding = 2,45*Радиус+1; BandWidth = // 2,45 = sqrt(12/г радиус) = г радиусный коэффициент
    100+3*needPadding;
    isTileable = !doingProxy; 30 вернуть // разбиваем больше изображения

```

ложь ;

}

Для каждой плитки

```

{
    float Weight = 2,45*ctl(0)/(i0*scaleFactor), fRadius = sqrt(Weight*Weight+1);
    int x, y, z, p, Радиус = пол (fRadius); fРадиус -= Радиус; Вес = // целочисленный радиус
    Радиус*Радиус + // размытия // доля радиуса
    fРадиус*(2*Радиус+1);

```

40 для (z = 0; z < Z; ++z)

// для всех цветов плоскости

{

for (x = x_start; x < x_end; ++x) { // вертикальное размытие..

float sum = src(x, y_start-Radius-1, z), dif = -sum;

for (y = y_start-2*Radius-1; y < y_end; ++y)

{

p = источник (x, y+радиус, z); put(p, // внутренний цикл вертикального

y+Радиус); сумма += dif + // следующий пиксель //

fRadius*p; диф += p; // пиксель буфера // накопление радиуса пикселя

50

если (y >= y_start)

{

интервал s = 0, ш = 0; сумма // коррекция размытия границ //

-= get(y-Radius-1)*fRadius; dif += get(y- // дополнение для внутреннего размытия //

Radius)-2*get(y); // размытия -2_верх +1, +1

// обрезаем накопленную область размытия пикселя за границей // предположим: добавленные

значения пикселей за границей = граница значения от резан В

p = Радиус-y; если (p // верхняя часть К

> 0)

60

```

    {
        p = p*(p-1)/2 + fРад иус*p;
        s += get(0)*p;
        ш += p;
    }
    p = y+Рад иус-Y+1; если (p > 0) // нижняя часть к отрезат ь
    {
70         p = p*(p-1)/2 + fРад иус*p;
            s += get(Y-1)*p;
            ш += p;
        }
        pset(x, y, z, (int)((sum-s)/(Weight-w))); // устанавливаем размытый пиксель

    } else if (y+Radius >= y_start) dif -= 2*get(y);
} // и //
} // икс
//Обновляем индикатор выполнения и отменяем, если ЭКУ клавиша была нажата
80 if (updateProgress(y_start+(y_end-y_start)*z/Z, Y)) abort();

for (y = y_start; y < y_end; ++y) { // горизонтальное размытие...

    float sum = pget(x_start-Radius-1, y, z), dif = -sum;

    for (x = x_start-2*Radius-1; x < x_end; ++x)
    { // внутренний цикл вертикального
        p = pget(x+Рад иус, y, z); put(p, x+Рад иус); // размытия //
        сумма += dif + fRadius*p; // следующий пиксель //
90        диф += p; // пиксель буфера // накопление размытия пикселей

        если (x >= x_start)
        {
            инт ервал s = 0, ш = 0; сумма // коррекция размытия границ //
            -= get(x-Radius-1)*fRadius; dif += get(x- // дополнение для двубоного размытия //
            Radius)-2*get(x); // размытия -2верх +1, +1

            // обрезаем накопленную область размытия пикселей за границей // обрезаем левую часть
100        p = Рад иус-x; если (p > 0)
            {
                p = p*(p-1)/2 + fРад иус*p;
                s += get(0)*p;
                ш += p;
            }
            p = x+Рад иус-X+1; если (p > 0) // правая часть к отрезат ь
            {
110                p = p*(p-1)/2 + fРад иус*p;
                    s += get(X-1)*p;
                    ш += p;
                }
                pset(x, y, z, (int)((sum-s)/(Weight-w))); // устанавливаем размытый пиксель

            } else if (x+Radius >= x_start) dif -= 2*get(x);
        } // и // икс
    } // у //
} // центральная плоскость

```

```
120 возвращает истину; } //Сделанный!
```

ОнФильтерЭнд:

```
{
    обновлениеПрогресс (0, 1);
    вернуть ложь;
}
```

3.2.6. Пример обнаружения краев. Это пример программы

обнаруживает края изображений путем определения размытия. Он использует только значения серого пикселя и может быть улучшен, рассматривая все цветовые плоскости и отделив перед суммированием информации о краях. Он работает только для 8-битных изображений RGB и использует алгоритм быстрого поиска размытия в одной степени. %ffr

Категория: "easy.Фильтер"

Название: «Обнаружение краев»

Версия: «1.0»

Имя файла: «edgedetection.8bf»

Автор: «Алоис Зингль»

Авторские права: "© 2008"

URL-адрес: "http://free.pages.at/easyfilter/gauss.html"

10 Описание: «Обнаружение монохромных краев путем производной свертки».

// Быстро и просто: работает только в Режиме RGB 8 бит, учитывает только значения серых пикселей.

Поддерживаемые режимы RGBMode

ctl(0): «Размытие (пиксели)», делитель = 2, диапазон = (1, N_CELLS/3)

ОнФильтерСтарт:

```
{
    int Blur = MakingProxy?(ctl(0)+scaleFactor/2)/scaleFactor:ctl(0); // радиус размытия
    20 NeedPadding = 3*Размытие/2+2;
    BandWidth = 100+4*needPadding;
    isTileable = !doingProxy; вернуть ложь; // разбиваем большие изображения
}
```

Для каждой пиксели:

```
{
    int Blur = max(1, (ctl(0)+scaleFactor/2)/scaleFactor); int x, y, z, p, Размытие2 = (3*Размытие+1) // радиус размытия
    2;
    30 двойной вес = 1,0/(Размытие*Размытие*Размытие);
```

```
for (x = x_start; x < x_end; ++x) { // размытие по вертикали для каждой строки
```

```
int dif = 0, der = 0, сумма = 0;
for (y = y_start-3*Blur; y < y_end; ++y) { // инициализируем строку
```

```
    p = srcp(x, y+Blur2); p = 5*Rval(p) // значение пикселя //
    +9*Gval(p)+2*Bval(p); put(p, y+3*Размытие); dif += p; if конvertируем // K уровень серого
    (y+2*Blur >= y_start) dif -= пиксель буфера, минимальный размер буфера: 3*Размытие ак к умножает
    3*get(y+2*Blur); различия {+1, // -3, // +3, -1}
    if (y+Blur >= y_start) dif += 3*get(y+Blur); если (y >= y_start)
```

```
//
```

```

    {
        диф -= получ ить (y);
        p = (der*Размытие*Вес/2)+2048; psetp(x, y, // д еривац ия и .. // .. размытие
        (int)(сумма*Вес)+(p<<12)); // храни тся в 12 т оч ность бит ов

    } Сумма += ; += различ ие; // на к апливаем размытие пик селей
50 } // и //
} // и //

//Обновляем индикатор выполнения и отменяем, если ЭКУ клавиша была нажата а
если (updateProgress(doingProxy*y_start+y_end, doingProxy?y_end-y_start:Y))
прерывание();

for (y = y_start; y < y_end; ++y) { // размытие по горизонтальной для каждого столбца

    int dif = 0, der = 0, сумма = 0; int dif2 = 0, sum2 // размытие //
60 = 0, p2; for (x = x_start-3*Blur; x < x_end; + // производное размытие //
+x) { // инициализация столбца

        p = pgetp(x+Blur2, y)&0xfffff; полож ить (p // значение пикселя //
        x+3*Размытие); диф += // пиксель буфера, минимальный размер буфера: 3*Blur //
        p>>12; диф2 += p&0xffff; if (x+2*Blur >= x_start) { на к апливаем различ ия {+1, // -3,

            p = получ ить (x+2*Размытие); диф -= 3*(p>>12); диф2 -= 3*(p&0xffff);
70 }
if (x+Blur >= x_start) { // // +3,

        p = получ ить (x + размытие); диф += 3*(p>>12); диф2 += 3*(p&0xffff);
        }
если (x >= x_start) { // // -1}

        p = получ ить (x); диф -= p>>12; диф2 -= p&0xffff;

        p = 2*сумма*Вес-4096; p2 = // горизонтальная кривая //
80 сумма2*Размытие*Вес; p = // вертикальная кривая // //
мин(255, sqrt(p*p+p2*p2)/12); psetp(x, y, p*0x10101); // сумма вверх рая
// установа пикселей RGB

    }
    сумма += ; += различ ие; сумма2 += диф2; // на к апливаем размытие пик селей
} // // и //
} и //

вернуть истину; //Сделанный!
}
90 OnFilterEnd:
{
    обновлениеПрогресс (0, 1);
    вернуть ложь;
}

```

3.2.7. Пример размытия-резкости

В этом примере показано применение фильтра размытия для повышения резкости изображений. См. главу 2.8 для объяснения

слайдера. %ffp Категория: "easy.Filter"

Название: «Размытие — резкость»

Версия: «1.0»

Имя файла: «blursharpen.8bf»

Автор: «Алоис Зингль»

Авторские права: "© 2008"

URL-адрес: "http://free.pages.at/easyfilter/gauss.html"

Описание: «Улучшить контрастность путем размытия и повышения резкости».

10

ctl(0): «Радиус (пиксели)», val = 4, делитель = 2, диапазон = (0,340)

ctl(1): «Размытие (%)», диапазон = (0, 100), значение = 32

ctl(2): «Резкость (%)», val = 64

ctl(3): «Порог (0..255)», val = 16

ФильтерСтарт:

```
{
    int Blur = MakingProxy?(ctl(0)+scaleFactor/2)/scaleFactor:ctl(0); NeedPadding = 3*Размытие/2+2; // радиус размытия
```

```
20 isTileable = !doingProxy; // разбиваем большие изображения
```

```
    BandWidth = 100+4*needPadding;
```

```
    вернуть ложь;
```

```
}
```

Для каждой пиксели:

```
{
    int Blur = sqrt(1.0+ctl(0)*ctl(0)/(scaleFactor*scaleFactor)); int x, y, z, i, Размытие2 = (3*Размытие+1)/ // радиус размытия
    2;
```

```
    двойной вес = Размытие*Размытие*Размытие;
```

```
30 int th = (imageMode<GRAY16MODE?1:128)*ctl(3); // порог
```

```
    для (z=0; z < Z; ++z) { // для всех цветовых плоскостей
```

```
        if (updateProgress(y_start+(y_end-y_start)*z/Z, Y)) abort();
```

```
        for (x = x_start; x < x_end; ++x) { // размытие по вертикали для каждой строки
```

```
            двойной диф = 0., дер = 0., сумма = 0.;
```

```
            for (y = y_start-3*Blur; y < y_start; ++y) { // инициализируем строку
```

```
                сумма += дер; дер += диф; p = // накладываем размытие пикселя //
```

```
                источник (x, y+Blur2, z); put(p, значение пикселя //
```

```
                y+3*Размытие); диф += p; // пиксель в буфере, минимальный размер буфера: 3*Blur //
```

```
                if (y+2*Blur // накладываем различия {+1, -3, //
```

```
                >= y_start) dif -= 3*get(y+2*Blur); if (y+Blur >= y_start) dif += 3*get(y+Blur);
```

```
                +3, (-1)}
```

```
            }
```

```
            для (; y < y_end; ++y)
```

```
            { // внутренний цикл вертикали
```

```
50            сумма += дер; дер += диф; pset(x, y, // накладываем размытие
```

```
            z, (int)(сумма/вес)); p = источник (x, y+Blur2, z); // пикселей // устанавливаем
```

```
            put(p, y+3*Размытие); dif += // размытый пиксель //
```

```
            p+3*(get(y+Blur)- // следующий пиксель // пиксель буфера
```

```
            get(y+2*Blur))-get(y); // {+1,-3,+3,-1}
```

```
            } // и //
```

```
        }
```

```
        for (y = y_start; y < y_end; ++y) { // размытие по горизонтали для каждого столбца
```

```
60        двойной диф = 0., дер = 0., сумма = 0.;
```

```

for (x = x_start-3*Blur; x < x_start; ++x) {
    // инициализируем столбец

    сумма += дер; дер += диф; p =
        // наклеиваем размытие пикселя //
    pget(x+Blur2, y, z); положить (p,
        значение пикселя //
    x+3*Размытие); диф += p; if
        пиксель в буфере, минимальный размер буфера: 3*Blur //
    (x+2*Blur >=
        наклеиваем различия {+1, // -3, //
    x_start) dif -= 3*get(x+2*Blur); if (x+Blur >= x_start) dif += 3*get(x+Blur);
        +3, (-1)}
}
70 для (; x < x_end; ++x)
{
    // внутренний цикл горизонтально
    сумма += дер; дер += диф; p = (int)
        размытие // наклеиваем пиксельное
    (сумма/вес)-src(x, y, z); p = (2*ctl(1)*p - ctl(2)*(abs(p-th)-
        размытие // локальный контраст
    abs(p+th)+2*p))/200; pset(x, y, z, src(x, y, z)+p);
        // размытие - резкость

    p = pget(x+Blur2, y, z); положить (p,
        // следующий
    x+3*Размытие); dif +=
        пиксель // пиксель буфера
    p+3*(get(x+Blur)-get(x+2*Blur))-get(x);
        // {+1,-3,+3,-1}
} /// икс
80 } у//
    ц вет овая плоскость //
} Вернуть истину; Готово!
}

Онфильтерэнд Онфильтерэнд:
{
    обновлениеПрогресс (0, 1);
    вернуть ложь ;
}

```

3.2.8. Пример размытия по Гауссу с пониженной дискретизацией

90 Пример быстрого размытия по Гауссу путем понижения разрешения изображения.
%ffp

```

Название: "downsampleGauss"
Автор: «Алоис Зингль».
Версия: «Август 2008 г.»
Авторские права: "© 2008 GPL"
Категория: "easy.Filter"
Имя файла: «downsampleGauss.8bf»
URL-адрес: "http://free.pages.at/easyfilter/gauss.html"

```

10 Описание: «Быстрый фильтр размытия по Гауссу путем понижения разрешения».

ctl(0): «Размытие (пиксели)», делитель =10, диапазон=(0,500), страница=100, гамма=200

ОнфильтерСтарт

```

{
    double s = (doingProxy?(ctl(0)+scaleFactor/2)/scaleFactor:ctl(0))/7.4+0.9; isTileable = !doingProxy;
        // сигма

    NeedPadding = s*sqrt(log(256.0)/log(2.0));
        // Радиус разрешения 8 бит

    20 i0 = max((int)s/4, 1); s = -i0*i0/(s*s); я1 =
        // масштаб пониженной
    -32768; for (я = 0; я <=
        выбор и // расчет к олообразной формы
    NeedPadding/i0; я+
        Гаусс
    +)
    {
        put((int)(32768.0*exp(i*i*s)), i);
    }
}

```

```

    по Гауссу i1 += get(i)*2;
}
BandWidth = 100+4*needPadding+i0;
// здесь нет allocArray, поскольку к X,x_end,.. еще не обновляются после изменений
30 вернуть ложь;
}

Для каждой плитки
{
    int x, y, z, Blur = NeedPadding/i0-1; int xe = (x_end-x_start)/ // радиус размытия
    i0;
    int ye = (y_end-y_start)/i0;

    если (getArrayDim(0,0)==0)
40     allocArrayPad(0, xe, ye, 2, 4, Blur+1); // буфер изображения с пониженной дискретизацией

    for (z=0; z < planesWithoutAlpha; ++z) {

        if (updateProgress(y_start+(y_end-y_start)*z/Z, Y)) abort();

        // понижающая дискретизация блока
        for (y = -Blur; y < ye+Blur; ++y)
            for (x = -Blur; x < xe+Blur; ++x) {

50             int xi, yi, s = (i0*i0)>>1;
                для (yi = 0; yi < i0; ++yi)
                    для (xi = 0; xi < i0; ++xi)
                        s += src(x*i0+xi+x_start, y*i0+y_start+yi, z);
                putArray(0, x, y, 0, s/(i0*i0));
            }

        // вертикальное размытие...
        for (x = -Blur; x <= xe+Blur; ++x) for (y = -1; y <= ye; ++y)
60         {

            двойная сумма = 0;
            for (i = y-Blur; i <= y+Blur; ++i)
                sum += getArray(0,x,i,0)*get(abs(iy)); // пиксель * масса
            putArray(0, x, y, 1, (int)(sum/i1));
        }

        // горизонтальное размытие...
        for (y = -1; y <= ye; ++y)
70         for (x = -1; x <= xe; ++x) {

            двойная сумма = 0;
            for (i = x-Blur; i <= x+Blur; ++i)
                sum += getArray(0,i,y,1)*get(abs(ix)); // пиксель * масса
            putArray(0, x, y, 0, (int)(sum/i1));
        }

        // линейная повышающая дискретизация
        for (y = -1; y <= ye; ++y)
80         for (x = -1; x <= xe; ++x) {

            int xi, yi, я = i0>>1;
            int a = getArray(0, x, y, 0), б = getArray(0, x+1, y, 0)-а;

```

```

    Гауссу int c = getArray(0, x, y+1, 0), d = getArray(0, x+1, y+1, 0)-c;
    для (yi = 0; yi < i0; ++yi)
        для (xi = 0; xi < i0; ++xi)
            pset(x*i0+xi+x_start+i, y*i0+y_start+yi+i, z,
                ((b*xi+a*i0)*(i0-yi)+(d*xi+c*i0)*yi+2*i*i)/(i0*i0));
        }
    }
90 возвращает истину; } //Сделанный!

```

ОнФильтерЭнд:

```

{
    обновлениеПрогресс (0, 1);
    свободныйМассив (0);
    вернуть ложь;
}

```

3.2.9. Пример рекурсивного размытия по Гауссу

Реализация Тома Фиддamana (немного улучшенная) рекурсивного размытия по Гауссу согласно Янгу и др. [4]. %ffp

```

// Рекурсивный гауссов демо-код // реализован
Томом Фиддаманом, www.sd3.info/pf828 // из статьи: // // // 1995, 139-151. //
http://www.ph.tn.tudelft.nl/
    Название: Рекурсивная реализация фильтра Гаусса Авторы И.Т. Янг, Л.Дж. ван
    Влит в: Signal Processing, vol. 2,
~lucas/publications/1995/SP95TYLV/SP95TYLV.html    44,    нет .

```

10

```

// меняет ся на    Алоис Зингль : //
продолжает добавленное граничное условие вместе с отсеченными границами // (пиксель границы опирается за
границу) // изображение обрабатывается в виде плиток

```

```

Категория: "easy.filter"
Название: «Рекурсивная гауссова»
Версия: «1.0»
Имя файла: «recursivegauss.8bf»

```

20 Автор: «Том Фиддаман, Алоис Зингль»

```
URL: "http://free.pages.at/easyfilter/gauss.html"
```

```
Описание: «Рекурсивная реализация фильтра Гаусса».
```

```
ctl(0): «Размытие (пиксель)»
```

ОнФильтерЭртарт:

```

{
    isTileable = !doingProxy; NeedPadding = // разбиваем большие изображения
    4*(doingProxy?(ctl(0)+scaleFactor/2)/scaleFactor:ctl(0));

```

30 BandWidth = 100+4*needPadding;

```
    вернуть ложь;
}

```

Для каждой плитки:

```

{
    int radius = NeedPadding;
    двойной b3 = max(radius-4, radius*2/3)/4,0, wn, wn1, wn2, wn3;

```

```

    двойной b0 = 1,57825 + b3*(2,44413 + b3*(1,4281 + 0,422205*b3));
    двойной b1 = b3*(2,44413 + b3*(2,85619 + 1,26661*b3))/b0;
40 двойной b2 = (-1,4281 - 1,26661*b3)*b3*b3/b0;
    b3 = 0,422205*b3*b3*b3/b0;
    b0 = 1,0 - (b1+b2+b3);

    для (z = 0; z < Z; z++) { // цикл лич еск и перебираем все к аналы

        //Обновляем индик ат ор выполнения и от меняем, если ЭК У к лавишв бьла нажат а
        if (updateProgress((1-doingProxy)*y_start*Z*2+(y_end-y_start)*(2*z+1), (doingProxy?y_end-y_start:Y)*Z*2))

            прерывание();
50 // Д ЕЛАТЬ К ОЛОННЫ

        for (x = x_start; x < x_end; x++) { // проход им го всем ст рок ам

            y = y_start-радиус;
            wn1 = wn2 = wn3 = ист оч ник (x,y,z); // иниц иализ ируем з нач ение

            в т о время к ак (++y < y_start) { // иниц иализ ируем ст рок у

60                wn = b0*src(x,y,z) + b1*wn1+b2*wn2+b3*wn3;
                wn3 = wn2; wn2 = wn1; wn1 = wn;
            }

            в т о время к ак (++y < y_end) // реаль ный проход вперед
            {
                wn = b0*src(x,y,z) + b1*wn1+b2*wn2+b3*wn3;
                pset(x,y,z, (int)wn);
                wn3 = wn2; wn2 = wn1; wn1 = wn;
70            }

            while (++y < y_end+радиус) { // от правляем проц есс вперед

                wn = b0*src(x,y,z) + b1*wn1+b2*wn2+b3*wn3;
                put((int)wn, y);
                wn3 = wn2; wn2 = wn1; wn1 = wn;

            } wn1 = wn2 = wn3 = ист оч ник (x,y-1,z); // иниц иализ ируем з нач ения

            while (--y > y_end) { // иниц иализ ируем в обрат ном направлении

80                wn = b0*get(y) + b1*wn1+b2*wn2+b3*wn3;
                wn3 = wn2; wn2 = wn1; wn1 = wn;
            }

            while (y-- > y_start) { // реаль ный проход назад

                wn = b0*pget(x,y,z) + b1*wn1+b2*wn2+b3*wn3;
                pset(x,y,z, (int)wn);
                wn3 = wn2; wn2 = wn1; wn1 = wn;
90            }
        } // для икс

        //Обновляем индик ат ор выполнения и от меняем, если ЭК У к лавишв бьла нажат а
        if (updateProgress((1-doingProxy)*y_start*Z*2+(y_end-y_start)*(2*z+2),

```

(doingProxy?y_end-y_start:Y)*Z*2)

прерывание());

// *ДЕЛАТЬ* Ряды (немного проще, поскольку строки не разделены плитками)

100 for (y = y_start; y < y_end; y++) { // проходим по всем столбцам

int p = pget(x_end-1,y,z); wn1 = wn2 = // запоминаем граничный пиксель
wn3 = pget(x_start,y,z);

for (x = x_start; x < x_end; x++) { // реальный проход вперед

wn = b0*pget(x,y,z) + b1*wn1+b2*wn2+b3*wn3;
pset(x,y,z, (int)wn);
wn3 = wn2; wn2 = wn1; wn1 = wn;

110 }

for (; x < x_end+radius; x++) { // отправляем процесс вперед

wn = b0*p + b1*wn1+b2*wn2+b3*wn3;
put((int)wn, x);
wn3 = wn2; wn2 = wn1; wn1 = wn;

} wn1 = wn2 = wn3 = p; // инициализируем значения

120 в то время как (--x > x_end) // инициализируем в обратном направлении

{
wn = b0*get(x) + b1*wn1+b2*wn2+b3*wn3;
wn3 = wn2; wn2 = wn1; wn1 = wn;
}

while (x-- > x_start) { // реальный проход назад

wn = b0*pget(x,y,z) + b1*wn1+b2*wn2+b3*wn3;
pset(x,y,z, (int)wn);
wn3 = wn2; wn2 = wn1; wn1 = wn;

130 }

} // для // для
}// Отменить обработку и применить эффект
вернуть истину;
}

Фильтер эрэнд:

140 {
обновлениеПрогресс (0, 1);
вернуть ложь;
}